

624.138:532.135

1336-1338

E 73 Z

TÜRKİYE BİLİMSEL VE TEKNİK ARAŞTIRMA KURUMU

BİLİMSEL
ARAŞTIRMA
KURUMU
TÜRKİYE
MÜHENDİSLİK

ZEMİNLERİN DAVRANIŞININ VİSKO-ELASTİK
MODELLE ETÜDÜ

MAG 338

Dr. Aybar ERTEPINAR

Dr. Yalçın MENGİ

Dr. Çetin SOYDEMİR

338

MÜHENDİSLİK ARAŞTIRMA GRUBU

TÜRKİYE BİLİMSEL VE TEKNİK ARAŞTIRMA KURUMU

624.138 : 532.135
E 732

ZEMİNLERİN DAVRANIŞININ VİSKO - ELASTİK
MODELLE ETÜDÜ

PROJE NO. : MAG - 388

Proje Yürüttücsü
Dr. Aybar ERTEPINAR

Yardımcı Araştırmalar
Dr. Yalçın MENGİ Dr. Çetin SOYDEMİR

14608

MÜHENDİSLİK ARAŞTIRMA GRUBU

Önsöz

Bu çalışma, TBTAK desteği ile ODTÜ imkanları kullanılarak tamamlanmıştır.

Dr. Aybar ERTEPINAR

Dr. Yalçın MENGİ

Dr. Çetin SOYDEMİR

İçindekiler

	<u>Sayfa:</u>
Önsöz	III
Şekil Listesi	VII
Tablo Listesi	VIII
Abstrakt	IX
Abstract	IX
I. Giriş	1
II. Lineer Visko-Elastik Teorinin Ana Hatları	3
III. Problemin Kesin Formülasyonu	9
IV. Yaklaşık Teori	13
V. Tek Elastik Tabaka İçin Örnek Problem	21
VI. Konsolidasyon Probleminde Visko-Elastik Malzeme Fonksiyonlarının Formları	25
VII. Çok Tabaklı Visko-Elastik Ortam için Yaklaşık Teori ..	27
VIII. Örnek Konsolidasyon Problemi	33
IX. Sonuçlar	35
Özet	37
Summary	39
Yayın Listesi	41
Şekiller	43

Şekil Listesi

	<u>Sayfa</u>
Şekil-1. (a) Maxwell, Kelvin ve Standart Modeller, (b) Sünme fonksiyonlarının zamana göre değişimi, (c) Gevşeme fonksiyonlarının zamana göre değişimi	45
Şekil-2. Elastik, çok-tabakalı problemin konfigürasyonu	46
Şekil-3. Tek elastik tabaka probleminin konfigürasyonu	46
Şekil-4. Serit yük için üst yüzeydeki yatay yer değiştirmeye bileşeninin (x_1)'e göre değişimi	47
Şekil-5. Serit yük için üst yüzeydeki düşey yer değiştirmeye bileşeninin (x_1)'e göre değişimi	47
Şekil-6. Serit yük için (τ_{11})'ın üst yüzeyde (x_1)'e göre değişimi ..	48
Şekil-7. Serit yük için (τ_{33})'ın üst yüzeyde (x_1)'e göre değişimi..	48
Şekil-8. Serit yük için $x_1=a$ 'daki yatay yer değiştirmeye bileşenin (x_2)'e göre değişimi	49
Şekil-9. Serit yük için $x_1=a$ 'daki düşey yer değiştirmeye bileşenin (x_2)'e göre değişimi	49
Şekil-10. Eksenel simetrik yük için üst yüzeydeki düşey yer değiştirmeye bileşeninin (r)'ye göre değişimi	49
Şekil-11. Eksenel simetrik yük için $r=a$ 'daki düşey yer değiştirmeye bileşeninin (z)'ye göre değişimi	50
Şekil-12. Eksenel simetrik yük için (τ_{rr})'nın üst yüzeyde (r)'ye göre değişimi	51
Şekil-13. Eksenel simetrik yük için ($\tau_{\theta\theta}$)'nın üst yüzeyde (r)'ye göre değişimi	51
Şekil-14. Eksenel simetrik yük için ($\tau_{\theta\theta}$)'nın $r=0$ 'da (z)'ye göre değişimi	51
Şekil-15. (a) Hacimsal lineer standart model (b) "Bulk" -gevşeme ve "bulk"-sünme fonksiyonları $K(t)$, $K'(t)$ 'nın zamana göre değişimleri	52
Şekil-16. (a) Kayma Maxwell modeli (b) Kayma-sünme ve kayma-gevşeme fonksiyonları $\mu(t)$, $\mu'(t)$ 'nın zamana göre değişimi	53
Şekil-17. Örnek problemin konfigürasyonu	53

	Sayfa
Şekil-18. Şerit yük için yatay yer değiştirmenin tabanda (x_1)'e göre değişimi	54
Şekil-19. Şerit yük için yatay yer değiştirmenin üst yüzeyde (x_1)'e göre değişimi	54
Şekil-20. Şerit yük için yatay yer değiştirmenin $x_1 = a$ 'da (x_2)'e göre değişimi	55
Şekil-21. Şerit yük için düşey yer değiştirmenin üst yüzeyde (x_1)'e göre değişimi	55
Şekil-22. Şerit yük için düşey yer değiştirmenin $x_1 = o$ 'da (x_2)'e göre değişimi	56
Şekil-23. Şerit yük için (τ_{11})'in yüzeyde (x_1)'e göre değişimi	56
Şekil-24. Şerit yük için (τ_{11})'in $x_1 = a$ 'da (x_2)'e göre değişimi	57
Şekil-25. Şerit yük için (τ_{22})'nin tabanda (x_1)'e göre değişimi	57
Şekil-26. Şerit yük için (τ_{33})'ün $x_1 = o$ 'da (x_2)'e göre değişimi	58
Şekil-27. Eksenel simetrik yük için yatay yer değiştirmenin tabanda (r)'ye göre değişimi	58
Şekil-28. Eksenel simetrik yük için yatay yer değiştirmenin üst yüzeyde (r)'ye göre değişimi	59
Şekil-29. Eksenel simetrik yük için düşey yer değiştirmenin üst yüzeyde (r)'ye göre değişimi	59
Şekil-30. Eksenel simetrik yük için düşey yer değiştirmenin $r = o$ 'da (z)'ye göre değişimi	60
Şekil-31. Eksenel simetrik yük için (τ_{rr})'nin üst yüzeyde (r)'ye göre değişimi	60
Şekil-32. Eksenel simetrik yük için (τ_{rr})'nin $r = a$ 'da (z)'ye göre değişimi	61
Şekil-33. Eksenel simetrik yük için (τ_{zz})'nin tabanda (r)'ye göre değişimi	61
Şekil-34. Eksenel simetrik yük için (τ_{zz})'nın $r = o$ 'da (z)'ye göre değişimi	62

Tablo Listesi

Table-I. Laplace transformu tersinin nümerik olarak bulunmasında kullanılan (A_k) ve (S_k)'nın $m=1$ ve $q=5$ için değerleri	33
--	----

Abstrakt

Araştırmacıların doygun ve kohezyonlu zeminlerin konsolidasyonunu, zeminin davranışını visko-elastik modellerle ifade ederek analiz etmeleri çok yeni değildir; ancak bu çalışmalarla konsolidasyon zamanının drenaj yolu boyuna olan bağılılığı hesaba katılmamıştır. Bu araştırmada, riyit, sürtünmesiz ve geçirimsiz bir temel üzerine oturan ve üzerinde düzgün yayılmış serit veya daireşel yük bulunan doygun ve kohezyonlu bir zemin tabakası problemi gözülmektedir. Hacim değişikliği ve kayma deformasyonu standart ve Maxwell modelleriyle ilâde edilmektedir. Konsolidasyon zamanı, drenaj yolu boyunun karesiyle doğru orantılı olarak düşünülmektedir. Yukarıda bahsedilen konsolidasyon probleminin analizinde çok tabakalı visko-elastik bir ortam için yaklaşık bir teori geliştirilmekte ve bu teori kullanılarak problem çözümü Laplace-Fourier (veya Hankel) uzayında elde edilmektedir. Deplasman ve gerilme değişimleri nümerik ters transform tekniklerinden faydalananlarak bulunmaktadır.

Abstract

It is not very new that the researchers have begun analyzing the consolidation of saturated, cohesive soil media by describing the behaviour of the media by visco-elastic models; but in these studies, the dependence of the consolidation time on the length of the drainage path is not considered. In the present investigation, the problem of a saturated, cohesive soil layer, which rests on a rigid, frictionless, and impervious foundation, and subjected to a uniform strip or circular pressure on the top surface is studied. The volume change and the shear deformation are respectively described by standard and Maxwell models. The consolidation time is taken to be proportional to the square of the length of the drainage path. In analyzing the abovementioned consolidation problem, an approximate theory for a multi-layered visco-elastic medium is developed and by using it, the solution to the problem is obtained in Laplace-Fourier (or Hankel) transform space. Employing numerical inversion techniques, the distributions of displacements and stress components are found.

I. Giriş

Bu çalışmada, geçirimsiz rijit bir temele oturan, şerit veya eksenel simetriye haiz yüze maruz doygun bir zemin tabakasının konsolidasyon problemi visko-elastik modeller yardımıyla incelemiştir.

Literatürde, zeminin hacimsal ve kayma deformasyonlarını tanımlayan çeşitli reolojik modeller teklif edilmiş ve bu model parametrelerinin tayini için bazı laboratuvar deneyleri geliştirilmiştir. Bu deneyler, hacimsal deformasyonun Kelvin, kayma deformasyonun ise Maxwell modeli ile tanımla-nabileceğini göstermiştir (1). Kelvin modeliyle ilgili gevşeme (relaxation) fonksiyonu $t=0$ zamanında sonsuz olan Dirac delta fonksiyonunu içtiyor olduğu için, matematik güçlükleri ortadan kaldırma amacıyla, zeminin hacimsal deformasyonu bu çalışmada standard modelle tanımlanmıştır.

Araştırmada, konsolidasyon zamanının, drenaj yolunun uzunluğunun karesiyle orantılı olduğunu kabul eden, Terzaghi'nin bir boyutlu teorisi kullanılmıştır (2). Tabaka, geçirimsiz bir temele oturduğundan, "bulk" modülü derinliğin karesinin fonksiyonu olmaktadır, bu da tabakayı inhomojen hale sokmaktadır. Bu visko-elastik, inhomojen tabakanın incelenmesindeki matematiksel güçlükleri yemek amacıyla, tabakanın, her biri farklı malzeme fonksiyonlarına sahip olan birçok ince tabakadan oluşan yaklaşımı yapılmıştır.

Birden fazla tabakadan oluşan visko-elastik bir ortamda yer değiştirmeye ve gerilme dağılımlarının kesin olarak tayini oldukça güçtür. Bu nedenle, önce, n ince tabakadan oluşan elastik bir zemin için yaklaşık bir teori geliştirilmiştir. Yer değiştirmelerin tabaka kalınlığı boyunca Taylor serisine açılma esasına dayanan bu yaklaşık teorinin geliştirilmesinde Hu-Washizu varyasyon teorisinden faydalanyılmıştır (3). Böylece, genelleştirilmiş yer değiştirmeleri bilinmeyen olarak içtiyor eden girişimli (coupled), lineer, adi diferansiyel denklem takımı, yaklaşık teorinin ana denklemleri olarak, elde edilmiştir. Geliştirilen yaklaşık teorinin geçerliliğini kontrol etmek amacıyla, tek elastik tabaka problemi kesin ve yaklaşık metodlarla çözülmüş ve sonuçların birbirine kâfi miktarda yakın olduğu görülmüştür.

Çok tabaklı visko-elastik problemin çözümü, elastik çözümden benzerlik (correspondance) prensibi yardımıyla elde edilmiştir (4). Bu prensibin ışığı altında, çok tabaklı, visko-elastik ortamla ilgili yaklaşık teorinin ana denklemlerini Laplace uzayında elde etmek için, elastik teorideki malzeme sabitleri, visko-elastik malzeme fonksiyonlarının Laplace transformu ve transform parametrisi çarpımı ile değiştirilmiştir. Eksenel simetriye haiz problem için radyal yönde Hankel, şerit yükle maruz problem için ise yatay yönde Fourier sinüs ve kosinüs transformları uygulanarak, problemin çözümü Hankel-Laplace veya Fourier-Laplace uzayındaki cebrik denklem takımının çözümüne indirgenmiştir. Hankel ve Fourier transformlarının tersleri Simpson metodu ile, Laplace transformunun tersi ise Krylov ve Skoblya (5) tarafından geliştirilen nümerik bir yöntemle bulunmuştur. $t=0$ ve $t=\infty$ zamanındaki sonuçları elde etmek için Laplace transformu limit teoremleri kullanılmıştır.

Örnek problemler olarak, rıjıt ve geçirimsiz bir temele oturan, uniform şerit veya uniform eksenel simetriye haiz yüklerle maruz H kalınlığında visko-elastik bir tabakanın konsolidasyonu incelenmiştir. Zeminin beş eşit kalınlıkta tabakadan oluştuğu, ve her tabaka için konsolidasyon zamanının tabaka ortasının üst yüzeyden uzaklığının karesiyle orantılı olduğu kabul edilmiştir. Gerilme ve yer değiştirmelerin çeşitli zamanlardaki dağılımları bulunmuş ve şekillerle gösterilmiştir.

II. Lineer Visko-Elastik Teorinin Ana Hatları

A. Giriş

Maxwell 1890'da, bazı katı cisimlerin bir kuvvet etkisi altında, kısa zamanlarda elastik davranış, uzun zamanlarda ise sıvıya benzer akma özelliği göstereceğini öne sürmüştür (6). Visko-elastik bir malzeme hem elastik hem de sıvıya benzer (viscous) özellikler gösterir. Elastik bir katı cisimde herhangi bir t zamanındaki gerilmenin, sadece aynı zamandaki şekil değiştirme bileşenlerine (strain) bağlı olmasına karşı, visko-elastik bir katı cisimde ise gerilme t zamanından önceki şekil değiştirme geçişine de bağlıdır. Böylece, visko-elastik bir malzeme için zaman (t) ilave bir değişken olarak bünye denklemlerine girmiştir.

B. Lineer Visko-Elastik Malzeme İçin Bünye Denklemleri

Denge denklemleri, uygunluk şartları ve şekil değiştirme bileşenlerini yer değiştirmelere bağlı olarak ifade edilir. Elastik, visko-elastik ve diğer tip malzemeler için aynıdır. Tek fark bünye denklemlerinde olup, visko-elastik bir malzeme için bu denklemler zamana bağlıdır. Lineer, yaşılanmayan (nonaging) bir visko-elastik malzeme için gevşeme (relaxation) tipindeki bir boyutlu bünye denklemleri

$$\sigma(t) = \epsilon(t)\epsilon(0) + \int_0^t \xi(t-t') \frac{d\epsilon(t')}{dt'} dt \quad (2.1)$$

şeklinde olup burada σ gerilmeyi, ϵ şekil değiştirme bileşenini, ξ ise malzemenin gevşeme fonksiyonunu göstermektedir.

Denklem (2.1) in tersi

$$\epsilon(t) = J(t)\sigma(0) + \int_0^t J(t-t') \frac{d\sigma(t')}{dt'} dt \quad (2.2)$$

lineer, visko-elastik malzeme için sünme (creep) tipindeki bünye denklemlerini vermektedir. J sünme fonksiyonunu göstermektedir. (2.1) ve (2.2) denklemlerinden, gevşeme ve sünme fonksiyonları arasında

$$J(t) = \int_0^t \xi(t-t') \epsilon(t') dt' = 1 \quad (2.3)$$

bağıntısı olması icap ettiği görüllür.

C. Lineer Visko-Elastik Malzemeye İlgili Mekanik Modeller

Visko-Elastik bir katı cismin elastik ve akma özellikleri lineer yay ve yağ kutusu (dashpot) yardımıyla tanımlanır. Lineer yay Hooke kanunu uyup yüze orantılı ani bir deformasyona uğrar. Öte taraftan yağ kutusu Newton'un viskosite kanunu uyup, deformasyon hızı tatlık edilen kuvvetle orantılıdır. Şekil (1.a) da üç ayrı visko-elastik model, Maxwell, Kelvin ve Standart, gösterilmiştir. Bu modeller için bilinç denklemleri

Maxwell modeli:

$$\dot{\epsilon} = \frac{\dot{\sigma}}{G} + \frac{\sigma}{\eta}, \quad \epsilon(0) = \frac{\sigma(0)}{G}, \quad (2.4)$$

Kelvin modeli:

$$\sigma = G\epsilon + \eta\dot{\epsilon}, \quad \epsilon(0) = 0, \quad (2.5)$$

Standart model:

$$\sigma + \frac{\eta}{G+G'}\dot{\sigma} = \frac{GG'}{G+G'}\left(\epsilon + \frac{1}{G}\dot{\epsilon}\right) \quad (2.6)$$

Şekilde olup $\dot{\sigma} = \frac{d\sigma}{dt}$ ve G, G' yay sabitlerini, η ise viskosite katsayısını göstermektedir.

Şekil (1.b) de gösterilen ve $\sigma(t)$ birim basamak fonksiyonu (unit step function $H(t)$) olunca $\epsilon(t)$ ye eşit olan sünme (creep) fonksiyonları

Maxwell modeli:

$$J(t) = \left(\frac{1}{G} + \frac{1}{\eta}t\right)H(t), \quad (2.7)$$

Kelvin modeli:

$$J(t) = \frac{1}{G} \left[1 - e^{-\frac{G}{\eta}t}\right]H(t) \quad (2.8)$$

Standard model:

$$J(t) = \left\{ \frac{1}{G} + \frac{1}{G} \left[1 - e^{-\frac{G}{\eta}t}\right] \right\} H(t) \quad (2.9)$$

bağıntısıyla verilir. Burada

$$H(t) = \begin{cases} 0, & t < 0 \\ 1, & t > 0 \end{cases} \quad (2.10)$$

$(\epsilon) = H(t)$ iken $\sigma(t)$ ye eşit olan ve şekil (1.c) de gösterilen gevşeme (relaxation) fonksiyonları

Maxwell modeli

$$\epsilon(t) = G e^{-\frac{G}{\eta}t} H(t) \quad (2.11)$$

Kelvin modeli:

$$\epsilon(t) = \eta \delta(t) + G H(t) \quad (2.12)$$

Standart model:

$$\epsilon(t) = \frac{G}{G+G'} \left[G - G' e^{-\frac{(G+G')}{\eta}t} \right] H(t) \quad (2.13)$$

ifadeleriyle tanımlanır. Burada Dirac delta fonksiyonu $\delta(t)$

$$\delta(t) = \begin{cases} 0, & t \neq 0 \\ \infty, & t = 0 \end{cases}$$

ve

$$\int_{-\infty}^{+\infty} f(t) \delta(t) dt = f(0) \quad (2.14)$$

şeklinde tanımlanır.

D. Üç Boyutlu Hal

Gerilme ve yer değiştirmeye deviatörleri, S_{ij} ve e_{ij} ,

$$S_{ij} = \tau_{ij} - \frac{1}{3} \delta_{ij} \sigma_{kk} \quad (2.15)$$

$$e_{ij} = \epsilon_{ij} - \frac{1}{3} \delta_{ij} \epsilon_{kk}$$

ifadeleriyle tanımlanmış olup burada τ_{ij} ve ϵ_{ij} gerilme ve şekil değiştirme tensörlerinin bileşenleri olup, Kronecker delta, δ_{ij} ise

$$\delta_{ij} = \begin{cases} 1, & i=j \\ 0, & i \neq j \end{cases} \quad (2.16)$$

(2.15) denklemlerinde indeks notasyonu kullanılmış olup Latin indeksler (i, j, k) 1, 2 ve 3 değerlerini alabilmekte ve tekrarlanan indeks toplamı gösterilmektedir. Örneğin,

$$\tau_{kk} = \tau_{11} + \tau_{22} + \tau_{33}$$

(2.1), (2.2) ve (2.3) denklemleri gerilme ve şekil değiştirme tensörlerinin deviatörük ve volumetrik kısımları için yazılırsa

$$\tau_{kk}(t) = 3K(t)\epsilon_{kk}(0) + \int_0^t 3K(t-\tau) \frac{\partial \epsilon_{kk}(\tau)}{\partial \tau} d\tau, \quad (2.17)$$

$$\epsilon_{kk}(t) = \frac{1}{3} K'(t) \tau_{kk}(0) + \int_0^t \frac{1}{3} K'(t-\tau) \frac{\partial \tau_{kk}(\tau)}{\partial \tau} d\tau, \quad (2.18)$$

$$\int_0^t K'(t-\tau) K(\tau) d\tau = t, \quad (2.19)$$

$$S_{ij}(t) = 2\mu(t)e_{ij}(0) + \int_0^t 2\mu(t-\tau) \frac{\partial e_{ij}(\tau)}{\partial \tau} d\tau, \quad (2.20)$$

$$e_{ij}(t) = \frac{1}{2} \mu(t) S_{ij}(0) + \int_0^t \frac{1}{2} \mu'(t-\tau) \frac{\partial S_{ij}(\tau)}{\partial \tau} d\tau, \quad (2.21)$$

$$\int_0^t \mu'(t-\tau) \mu(\tau) d\tau = t, \quad (2.22)$$

üç boyutlu bünye denklemleri bulunur. Burada $K(t)$, $K'(t)$ "bulk"-gevşeme, "bulk"-sünme fonksiyonlarını ve $\mu(t)$, $\mu'(t)$ kayma-gevşeme, kayma-sünme fonksiyonlarını göstermektedir.

E. Benzerlik (Correspondence) Prensibi

Aynı geometriye, aynı sınır ve başlangıç değerlerine sahip, biri elastiç, diğer ise visko-elastiç malzemeden yapılmış iki cismin Laplace uzayındaki ana denklemleri ve sınır değerleri

Şekil- yer değiştirmeye bağıntıları:

$$\text{Elastiç, visko-elastiç } \epsilon_{ij}^L = \frac{1}{2} (u_{ij,j}^L + u_{ji,i}^L), \quad (2.23)$$

Hareket denklemleri:

$$\text{elastiç, visko-elastiç } \tau_{j1,j}^L + X_i^L = \varphi (s^2 u_i^L - s \alpha_i - \beta_i), \quad (2.24)$$

Sınır değerleri:

$$\text{elastiç, visko-elastiç } \dot{t}_i^{(n)} = \gamma_i, \quad s \quad \text{üzerinde}, \quad (2.25)$$

Bünye denklemleri:

$$\begin{aligned} \tau_{kk}^L &= 3K \epsilon_{kk}^L, \\ \text{elastiç } \epsilon_{kk}^L &= \frac{1}{3} K' \tau_{kk}^L, \end{aligned} \quad (2.26)$$

$$\begin{aligned} S_{ij}^L &= 2\mu e_{ij}^L, \\ e_{ij}^L &= \frac{1}{2} \mu' S_{ij}^L, \end{aligned}$$

ve

$$\begin{aligned} \tau_{kk}^L &= 3sK^L \epsilon_{kk}^L, \\ \epsilon_{kk}^L &= \frac{1}{3}sK'^L \tau_{kk}^L, \end{aligned} \quad (2.27)$$

$$\text{visko-elastiç } S_{ij}^L = Q s \mu^L e_{ij}^L,$$

$$e_{ij}^L = \frac{1}{2} s \mu^L S_{ij}^L.$$

(2.27)
(devam)

(2.23-27) denklemlerinde

$()^L$: (\cdot)'ın Laplace transformu,
 S : Laplace transform parametresi,
 u_i : Yer değiştirme bileşenleri,
 x_i : Cartesian koordinatları,

$$()_{,i}^L = \frac{\partial ()}{\partial x_i}$$

X_i : KütleSEL dış yük bileşenleri,
 φ : Kütle yoğunluğu,

$$\alpha_i = (u_i)_{t=0}$$

$$\beta_i = (\dot{u}_i)_{t=0}$$

S : Cismi sınırlayan yüzey,

δ_i : x_i ve t 'nin fonksiyonu olan ve yüzeyde sınır değerlerine bağlı olan büyüklikler,

$$t_i^{(n)} = n_j \tau_{ji} \quad (\text{yüzey gerilme vektörü bileşenleri}),$$

n_j : Yüzey normal vektörü bileşenleri.

Yukarıdaki denklemlerden görüleceği gibi, şekil-yer değiştirme bağıntılarının, hareket denklemlerinin ve sınır şartlarının Laplace uzayındaki formları elastiç ve visko-elastiç problemlerde aynı kalmaktadır. (2.26-27) denklemleri karşılaştırılırsa, visko-elastiç ve elastiç bünye denklemlerinin farklı olduğu, fakat elastiç bünye denklemlerindeki elastiç sabitler visko-elastiç karşılıklarının Laplace transformu ve transform parametresi çarpımıyla değiştilirse, (2.27) ve (2.26) denklemlerinin aynı olacağı görülür. Böylece, lineer visko-elastiç bir problemin çözümü için aşağıdaki yöntem uygulanabilir: Karşıt elastiç problemin Laplace uzayındaki çözümü bulunur; elastiç sabitler karşıt visko-elastiç malzeme fonksiyonlarının Laplace transformu ve transform parametresi çarpımıyla değiştirilir; elde edilen ifadelerin Laplace transformu tersi alınarak çözüm elde edilir. Bu yöntem benzerlik (Correspondence) prensibi olarak isimlendirilmektedir.

III. Problemin Kesin Formülasyonu

Giriş kısmında da belirtildiği üzere, bir zemin tabakasının konsolidasyon probleminin incelemesi için tabakanın ince, homojen ve farklı visko-elastik özelliklere sahip tabakalardan oluştuğu yaklaşımının yapılması icabettmektedir. Visko-elastik çözüm, elastik çözümünden benzerlik prensibi yardımıyla elde edilebileceğinden, bu kısımda çok tabaklı elastik bir ortamın kesin teorisinin formülasyonu yapılacaktır.

Şekil (2) de görülen, eşit kalınlıkta ve farklı elastik özelliklere olan n tabakadan oluşan, rijit ve sürtünmesiz bir temele oturan zemin tabakası göz önüne alınsun.

Şerit yükle maruz hal düzlemsel yer değiştirmeye problemi olduğundan, tabaka için Şekil (2) de görülen cartesian koordinat sistemi kullanılacaktır. Bu sistemde x_1-x_3 düzlemini temel düzleme ile çakışmakta olup, x_2 ekseni -nin yönü x_1-x_3 düzlemine dik ve yukarı doğrudur. Şerit yük ekseni doğrultusu x_2 eksene paralel olarak alınmıştır.

Eksenel simetriye sahip yükle maruz tabaka için silindirik koordinat sistemi (rijit) kullanılmıştır. Şekil 12. Burada z ekseni temel düzleme dik olup yükün simetri ekseniyle çakışmaktadır.

k tabakası için ana denklemler

<u>Şerit yük</u>	<u>Eksenel simetrik yük</u>
Denge denklemleri $\tau_{\alpha \beta}^{(k)} = 0$,	$\frac{\partial \tau_{rr}^{(k)}}{\partial r} + \frac{\partial \tau_{rz}^{(k)}}{\partial z} + \frac{\tau_{rr}^{(k)} - \tau_{zz}^{(k)}}{r} = 0,$
	$\frac{\partial \tau_{rz}^{(k)}}{\partial r} + \frac{\partial \tau_{zz}^{(k)}}{\partial z} + \frac{1}{r} \tau_{rz}^{(k)} = 0,$

Bünye denklemleri

$$\tau_{\alpha\beta}^{(k)} = 2\mu^{(k)} \epsilon_{\alpha\beta}^{(k)} + \delta_{\alpha\beta} \lambda^{(k)} \epsilon_{\lambda\lambda}^{(k)}, \quad \tau_{ij}^{(k)} = 2\mu^{(k)} \epsilon_{ij}^{(k)} + \delta_{ij} \lambda^{(k)} \epsilon_{kk}^{(k)},$$

$$\epsilon_{rr}^{(k)} = \frac{\partial u_r^{(k)}}{\partial r}, \quad \epsilon_{\theta\theta}^{(k)} = \frac{u_r^{(k)}}{r},$$

Şekil-yer değiştirmeye

$$\epsilon_{\alpha\beta}^{(k)} = \frac{1}{2} (u_{\alpha,\beta}^{(k)} + u_{\beta,\alpha}^{(k)}), \quad \epsilon_{zz}^{(k)} = \frac{\partial u_z^{(k)}}{\partial z}, \quad (3.1)$$

$$\epsilon_{rz}^{(k)} = \frac{1}{2} \left(\frac{\partial u_z^{(k)}}{\partial r} + \frac{\partial u_r^{(k)}}{\partial z} \right),$$

$$\epsilon_{r\theta}^{(k)} = \epsilon_{\theta z}^{(k)} = 0.$$

Burada $\mu^{(k)}$ ve $\lambda^{(k)}$ Lamé sabitleri olup, Yunan (Greek) harfleriyle gösterileceğinde indeksler 1 ve 2 değerlerini alabilirler.

Temel ve üst düzlemlerdeki sınır değerleri

<u>Şerit yük</u>	<u>Eksenel Simetrik Yük</u>
$(\tau_{22})_{x_2=H} = -\rho(x_1),$	$(\tau_{zz})_{z=H} = -\rho(r),$
$(\tau_{12})_{x_2=H} = 0,$	$(\tau_{rz})_{z=H} = 0,$
$(\tau_{12})_{x_2=0} = 0,$	$(\tau_{rz})_{z=0} = 0,$
$(u_2)_{x_2=0} = 0,$	$(u_z)_{z=0} = 0,$

(3.2)

İfadeleriyle verilir. Burada $H=nh$ ve h ince tabaka kalınlığıdır. Ince tabakaların tam bağlantılı olduğu kabul edilirse uygunluk şartları aşağıdaki ifadeler ile verilir:

<u>Serit yük</u>	<u>Eksenel Simetrik Yük</u>
$(\tau_{22})_{x_2=kh} = (\tau_{22}^{(k+1)})_{x_2=kh},$	$(\tau_{zz}^{(k)})_{z=kh} = (\tau_{zz}^{(k+1)})_{z=kh},$
$(\tau_{12})_{x_2=kh} = (\tau_{12}^{(k+1)})_{x_2=kh},$	$(\tau_{rz}^{(k)})_{z=kh} = (\tau_{rz}^{(k+1)})_{z=kh},$
$(u_1)_{x_2=kh} = (u_1^{(k+1)})_{x_2=kh},$	$(u_r)_{z=kh} = (u_r^{(k+1)})_{z=kh},$

Burada $k=1, 2, \dots, n-1$.

Problemin kesin çözümü (3.1) eşitliğiyle verilen ana denklemlerin, sınır şartları (3.2) ve uygunluk şartları (3.3) na bağlı olarak çözülmeleriyle elde edilebilir. Ancak, tabaka sayısı birden fazla olduğu zaman işlemler oldukça karışık bir hale gelmektedir. Bu sebeple bir sonraki kısımda, çok tabaklı elastik bir ortam için yaklaşık bir teori geliştirilerek denklemlerin x_2 (veya z) değişkenlerine bağlılıklarını elimine edilmiş ve böylece çözümün elde edilebilmesi kolaylaştırılmıştır.

IV. Yaklaşık Teori

Yaklaşık teorinin geliştirilmesinde Hu-Washizu (3) tarafından geliştirilen bir varyasyon prensibi kullanılmıştır. Çalışmanın bütünlüğünü bozma- mak için, bu varyasyon prensibi bu kısımda kısaca özetlenecektir.

V hacminin S yüzeyi ile sınırlanlığı düşünülsün. Birim hacme tekabül eden x_i külesel kuvvetleri V hacmi içerisinde, gerilme vektörleri

$\mathbf{t}_i^{(n)} = \tilde{\mathbf{t}}_i$, S yüzeyinin bir kısmı olan S_t de, ve yer değiştirmeler, $u_i = \bar{u}_i$, ise sınır yüzeyinin geri kalan kısmı olan S_u 'da belirlenmiştir. Aşağıdaki Hu-Washizu fonksiyoneli düşünülsün:

$$J_{HW} \{ \epsilon_{ij}, u_i \} = \int_V [x_i u_i - U(\epsilon_{ij}) + \tau_{ij} \epsilon_{ij} - \tau_{ij} u_{ij}] dV + \quad (4.1)$$

$$+ \int_{S_t} \tilde{\mathbf{t}}_i u_i dS + \int_{S_u} \tau_{ij} u_j (u_i - \bar{u}_i) dS.$$

Burada

$$U(\epsilon_{ij}) = \mu \epsilon_{ij} \epsilon_{ij} + \frac{1}{2} \lambda \epsilon_{mm} \epsilon_{kk} \quad (4.2).$$

Şekil değiştirme potansiyelidir. (4.1) le tanımlanan fonksiyonelde τ_{ij} , ϵ_{ij} , u_i bağımsız durum değişkenleri (independent state variables) dir. Kabul edilebilir durum (state) için τ_{ij} ve ϵ_{ij} 'in simetrik olmaları icabetmektedir.

Teorem: Bütün kabul edilebilir durumlar içerisinde V içerisinde li- neer elastisite ana denklemlerini ve S_t üzerinde $\mathbf{t}_i^{(n)} = \tilde{\mathbf{t}}_i$ ve S_u üzerinde $u_i = \bar{u}_i$ sınır şartlarını sağlayan durum

$$\delta J_{HW} = 0$$

ifadesiyle verilir. Burada δJ_{HW} , J_{HW} nin birinci varyasyonunu gösterir.

Yaklaşık teorinin geliştirilmesinde, yer değiştirme bileşenleri aşağıda gösterilen serilerle ifade edilecektir.

Serit Yük

$$u_1 = \sum_{j=1}^{\infty} x_2^{2(j-1)} m_j(x_1),$$

$$u_2 = \sum_{j=1}^{\infty} x_2^{(2j-1)} h_j(x_1),$$

$$u_3 = 0,$$

Eksenel Simetrik Yük

$$u_r = \sum_{j=1}^{\infty} z^{2(j-1)} f_j(r),$$

$$u_z = \sum_{j=1}^{\infty} z^{(2j-1)} g_j(r),$$

(4.3)

$$u_\theta = 0.$$

Burada m_j ve h_j sadece x_1 'in fonksiyonları; f_j ve g_j ise sadece r 'nin fonksiyonları olup bu büyüklükler genelleştirilmiş yer değiştirmeye bileşenleri olarak bakılabilir. (4.3) ifadelerinin yazılmasında problemin simetri, antisimetri durumları göz önüne alınmıştır. Bu serilerde her terim şekil değiştirmenin bir modunu (mode) temsil etmektedir. u_1 ve u_r için iki terim, u_2 ve u_z için ise bir terim alınırsa

Serit Yük

$$u_1 = m_1(x_1) + x_2^2 m_2(x_1),$$

$$u_2 = x_2 h_1(x_1),$$

$$u_3 = 0,$$

Eksenel Simetrik Yük

$$u_r = f_1(r) + z^2 f_2(r)$$

$$u_z = z g_1(r),$$

(4.4)

$$u_\theta = 0.$$

(3.1) denkleminde verilen şekil-yer değiştirmeye ifadeleri (4.4) denklemiyle birlikte kullanılırsa

Serit Yük

$$\epsilon_{11} = m_{1,1} + x_2^2 m_{2,1},$$

$$\epsilon_{22} = h_{1,1},$$

$$\epsilon_{12} = \frac{1}{2} (2m_2 + h_{1,1}) x_2,$$

elde edilir.

Eksenel Simetrik Yük

$$\epsilon_{rr} = f_{1,r} + z^2 f_{2,r},$$

$$\epsilon_{\theta\theta} = \frac{1}{r} f_1 + \frac{z^2}{r} f_2,$$

$$\epsilon_{zz} = g_1,$$

$$\epsilon_{rz} = \frac{z}{2} (g_{1,r} + 2f_2),$$

(4.5)

Aşağıdaki genelleştirilmiş yer değiştirmeye bileşenleri ifadeleri

Serit Yük

$$\Gamma_1 = m_{1,1},$$

$$\Gamma_2 = m_{2,1},$$

$$\Gamma_3 = h_{1,1},$$

$$\Gamma_4 = m_2 + \frac{1}{2} h_{1,1},$$

Eksenel Simetrik Yük

$$\Gamma_1 = f_{1,r},$$

$$\Gamma_2 = f_{2,r},$$

$$\Gamma_3 = g_1,$$

$$\Gamma_4 = \frac{1}{2} (g_{1,r} + 2f_2),$$

$$\Gamma_5 = \frac{1}{r} f_1,$$

$$\Gamma_6 = \frac{1}{r} f_2,$$

(4.6)

kullanılırsa (4.5) ifadeleri

<u>Şerit Yük</u>	<u>Eksenel Simetrik Yük</u>
$\epsilon_{11} = \Gamma_1 + x_2^2 \Gamma_2$,	$\epsilon_{rr} = \Gamma_1 + z^2 \Gamma_2$,
$\epsilon_{22} = \Gamma_3$,	$\epsilon_{\theta\theta} = \Gamma_5 + z^2 \Gamma_6$,
$\epsilon_{12} = x_2 \Gamma_4$,	$\epsilon_{zz} = \Gamma_3$,
şeklini alır.	$\epsilon_{rz} = z \Gamma_4$,

(4.1) ifadesinin sağ tarafındaki entegral içerisinde görülen terimler, genelleştirilmiş şekil ve yer değiştirme bileşenleri cinsinden hesap edilir-se

Şerit yük için:

$$\begin{aligned} U^{(k)}(\epsilon_{ij}) &= [\mu^{(k)} + \frac{1}{2} \lambda^{(k)}] [\Gamma_1^2 + 2x_2^2 \Gamma_1 \Gamma_2 + x_2^4 \Gamma_2^2 + \Gamma_3^2] + \\ &\quad + 2\mu^{(k)} x_2^2 \Gamma_4^2 + \lambda^{(k)} [\Gamma_1 \Gamma_3 + x_2^2 \Gamma_2 \Gamma_3], \\ \tau_{ij} \epsilon_{ij} &= \tau_{11} \Gamma_1 + x_2^2 \tau_{11} \Gamma_2 + \tau_{22} \Gamma_3 + 2x_2 \tau_{12} \Gamma_4, \\ \tau_{ij} u_{i,j} &= \tau_{11} m_{1,1} + x_2^2 \tau_{11} m_{2,1} + \tau_{22} h_1 + x_2 \tau_{12} [2m_2 + h_{1,1}], \end{aligned} \quad (4.8)$$

Eksenel simetrik yük için:

$$\begin{aligned} U^{(k)}(\epsilon_{ij}) &= [\mu^{(k)} + \frac{1}{2} \lambda^{(k)}] [\Gamma_1^2 + 2z^2 \Gamma_1 \Gamma_2 + z^4 \Gamma_2^2 + \Gamma_5^2 + 2z^2 \Gamma_5 \Gamma_6 + \Gamma_3^2 + z^4 \Gamma_6^2] + \\ &\quad + 2\mu^{(k)} [\Gamma_1 \Gamma_5 + z^2 (\Gamma_1 \Gamma_6 + \Gamma_2 \Gamma_5) + z^4 \Gamma_2 \Gamma_6 + \Gamma_1 \Gamma_3 + z^2 \Gamma_2 \Gamma_3 + \Gamma_3 \Gamma_5 + z^2 \Gamma_3 \Gamma_6], \\ \tau_{ij} \epsilon_{ij} &= \tau_{rr} \Gamma_1 + z^2 \tau_{rr} \Gamma_2 + \tau_{\theta\theta} \Gamma_5 + z^2 \tau_{\theta\theta} \Gamma_6 + \tau_{zz} \Gamma_3 + 2z \tau_{rz} \Gamma_4, \\ \tau_{ij} u_{i,j} &= \tau_{rr} (f_{1,r} + z^2 f_{2,r}) + \tau_{\theta\theta} \left(\frac{f_1}{r} + z^2 \frac{f_2}{r} \right) + \tau_{zz} q_1 + \tau_{rz} (2z f_2 + 2q_{1,r}), \end{aligned} \quad (4.9)$$

elde edilir.

(4.1) fonksiyonelinin, şerit yük probleminde dikdörtgensel bir hacim elemanı, eksenel simetrik yük probleminde ise dairesel silindirik bir eleman için yazılması icap etmektedir. Dikdörtgensel hacim elemanı x_3 yönünde birim uzunluğa haiz olup $x_1=x_1^{(1)}$, $x_2=x_1^{(2)}$, $x_3=0$, ve $x_2=H$ düzlemleriyle sınırlanmıştır. Dairesel silindirik eleman ise z eksenli ve r^l yarıçapında olup, $z=H, z=0$ düzlemleriyle sınırlanmıştır. Bu elemanlar için (4.1) fonksiyoneli, kütlesel kuvvetlerin olmaması ve üst ve alt yüzeydeki sınır şartlarının kullanılması halinde,

şerit yük için:

$$J_{HW} = \int_{x_1^{(1)}}^{x_1^{(2)}} \left[\int_0^H (-U(\epsilon_{ij}) + \tau_{ij}\epsilon_{ij} - \tau_{ij}u_{i,j}) dx_2 \right] dx_1 + \int_{x_1^{(1)}}^{x_1^{(2)}} \left[\rho(x_1) u_2 \Big|_{x_2=H} dx_1 + \right. \\ \left. + [x_1 = x_1^{(1)} \vee x_1 = x_1^{(2)}] \right] \quad (4.10)$$

deki sınır şartları;

eksenel simetrik yük için:

$$J_{HW} = \int_0^{2\pi} \int_0^{r'} \left\{ \int_0^H [-U(\epsilon_{ij}) + \tau_{ij}\epsilon_{ij} - \tau_{ij}u_{i,j}] dz \right\} r dr d\theta + \\ + \int_0^{2\pi} \int_0^{r'} -p u_z \Big|_{z=H} r dr d\theta + (r=r' \text{ yüzeyindeki sınır şartları}) \quad (4.11)$$

olarak bulunur.

(4.8) ve (4.9) denklemleri (4.10) ve (4.11) denklemleriyle birlikte kullanılırsa

şerit yük için:

$$J_{HW} = \int_{x_1^{(1)}}^{x_1^{(2)}} \left[-\bar{U}(\Gamma_i) + B(F_i, \Gamma_i) - T(F_i, A_i) \right] dx_1 - \int_{x_1^{(1)}}^{x_1^{(2)}} \rho H h_i dx_1 + \\ + [x_1 = x_1^{(1)} \vee x_1 = x_1^{(2)} \text{ sınır şartları}], \quad (4.12)$$

eksenel simetrik yük için:

$$J_{HW} = \int_0^{2\pi} \int_0^{r'} \left[-\bar{U}(\Gamma_i) + B(F_i, \Gamma_i) - T(F_i, A_i) r dr d\theta - \int_0^{2\pi} \int_0^{r'} \rho H g_i r dr d\theta + \right. \\ \left. + [r=r' \text{ yüzeyindeki sınır şartları}] \right] \quad (4.13)$$

elde edilir.

Şerit yük problemi için (4.12 denklemi):

$$\bar{U}(\Gamma_i) = \sum_{k=1}^n \left\{ \left(\mu^{(k)} + \frac{1}{2} \lambda^{(k)} \right) \left[h \Gamma_1^2 + 2 \frac{h^2}{3} \Gamma_1 \Gamma_2 (k^3 - (k-1)^3) + \frac{h^2}{6} \Gamma_2^2 (k^5 - (k-1)^5) + h \Gamma_3^2 \right] + \right. \\ \left. + 2 \mu^{(k)} \frac{h^3}{3} \Gamma_4^2 (k^3 - (k-1)^3) + \lambda^{(k)} \left[h \Gamma_1 \Gamma_3 + \frac{h^3}{3} \Gamma_2 \Gamma_3 (k^3 - (k-1)^3) \right] \right\}, \\ B(F_i, \Gamma_i) = F_1 \Gamma_1 + F_2 \Gamma_2 + F_3 \Gamma_3 + F_4 \Gamma_4, \\ T(F_i, A_i) = F_1 m_{1,i} + F_2 m_{2,i} + F_3 h_i + F_4 (2m_2 + h_{1,i}), \\ F_1 = \int_0^H \tau_{11} dx_2, \quad (4.14)$$

$$F_2 = \int_0^H x_2^2 \tau_{11} dx_2,$$

$$F_3 = \int_0^H \tau_{22} dx_2,$$

$$F_4 = \int_0^H x_2 \tau_{12} dx_2$$

ve

$$(A_i) = (A_1, A_2, A_3, A_4, A_5)$$

$$= (m_{1,1}; m_{2,1}; h_1; m_2; h_{1,1}),$$

eksenel simetrik yük problemi için (4.13 denklemi):

$$\begin{aligned} \bar{U}(\Gamma_i) = & \sum_{k=1}^n \left\{ \left(\mu^{(k)} + \frac{1}{2} \lambda^{(k)} \right) \left[h \Gamma_1^{k-2} + \frac{2h^3}{3} \Gamma_1 \Gamma_2 (k^3 - (k-1)^3) + \frac{h^5}{5} \Gamma_2^{k-2} (k^5 - (k-1)^5) + h \Gamma_5^{k-2} \right. \right. \\ & + \frac{2h^3}{3} \Gamma_5 \Gamma_6 (k^3 - (k-1)^3) + \frac{h^5}{5} \Gamma_6^{k-2} (k^5 - (k-1)^5) + h \Gamma_3^{k-2} \left. \right] + 2 \lambda^{(k)} \frac{h^3}{3} \Gamma_4^{k-2} (k^3 - (k-1)^3) + \\ & + \lambda^{(k)} \left[h \Gamma_1 \Gamma_5 + \frac{h^3}{3} (\Gamma_1 \Gamma_6 + \Gamma_2 \Gamma_5) (k^3 - (k-1)^3) + \frac{h^5}{5} \Gamma_2 \Gamma_6 (k^5 - (k-1)^5) + h \Gamma_1 \Gamma_3 + \right. \\ & \left. \left. + \frac{h^3}{3} \Gamma_2 \Gamma_3 (k^3 - (k-1)^3) + h \Gamma_3 \Gamma_5 + \frac{h^3}{3} \Gamma_3 \Gamma_6 (k^3 - (k-1)^3) \right] \right\}, \\ B(F_i, \Gamma_i) = & F_1 \Gamma_1 + F_2 \Gamma_2 + F_3 \Gamma_3 + F_4 \Gamma_4 + F_5 \Gamma_5 + F_6 \Gamma_6, \quad (4.15) \\ T(F_i, A_i) = & F_1 f_{1,r} + F_2 f_{2,r} + F_3 \frac{f_1}{r} + F_6 \frac{f_2}{r} + F_3 g_{1,r} + F_4 (f_2 + \frac{1}{2} g_{1,r}), \end{aligned}$$

$$F_1 = \int_0^H \tau_{rr} dz,$$

$$F_2 = \int_0^H z^2 \tau_{rr} dz,$$

$$F_3 = \int_0^H \tau_{zz} dz,$$

$$F_4 = \int_0^H 2z \tau_{rz} dz,$$

$$F_5 = \int_0^H \tau_{\theta\theta} dz,$$

$$F_6 = \int_0^H z^2 \tau_{\theta\theta} dz,$$

ve

$$(A_i) = (A_1, A_2, A_3, A_4, A_5, A_6),$$

$$= (f_{1,r}; f_{2,r}; g_{1,r}; f_1; f_2; g_1).$$

(4.12) ve (4.13) denklemelerinin birinci varyasyonu alındığı zaman şerit yük için:

$$\delta J_{HW} = \int_{x_1^{(1)}}^{x_1^{(2)}} \left\{ -\frac{\partial \bar{U}}{\partial F_i} + \frac{\partial B}{\partial F_i} \right\} \delta F_i + \left(\frac{\partial B}{\partial F_i} - \frac{\partial T}{\partial F_i} \right) \delta F_i - \frac{\partial T}{\partial A_i} - \rho H \delta h_i \} dx_i + \quad (4.16)$$

$\Rightarrow [x_1 = x_1^{(1)}$ ve $x_2 = x_2^{(2)}$ deki sınır şartları],
eksenel simetrik yük için:

$$\delta J_{HW} = \int_0^{2\pi} \int_0^{r'} \left[-\frac{\partial \bar{U}}{\partial r_i} + \frac{\partial B}{\partial F_i} \right] \delta F_i + \left(\frac{\partial B}{\partial F_i} - \frac{\partial T}{\partial F_i} \right) \delta F_i - \frac{\partial T}{\partial A_i} - H\rho \delta g_i \] dr dr de + \quad (4.17)$$

$\Rightarrow [r=r'$ yüzeyindeki sınır şartları]

elde edilir.

Kısmı entegrasyon kullanılırsa, $\delta J_{HW} = 0$ şartından

<p style="text-align: center;"><u>serit yük</u></p> $\frac{\partial}{\partial x} \left(\frac{\partial T}{\partial A_i} \right) = 0,$ <p>denge denklemleri</p> $\frac{\partial T}{\partial A_4} - \frac{1}{r} \frac{\partial}{\partial r} \left(r \frac{\partial T}{\partial A_1} \right) = 0,$ $\frac{\partial T}{\partial A_4} - \frac{1}{r} \frac{\partial}{\partial r} \left(r \frac{\partial T}{\partial A_2} \right) = 0,$ $\frac{\partial T}{\partial A_3} - \frac{1}{r} \frac{\partial}{\partial r} \left(r \frac{\partial T}{\partial A_5} \right) + \rho h = 0, \quad \frac{\partial T}{\partial A_6} - \frac{1}{r} \frac{\partial}{\partial r} \left(r \frac{\partial T}{\partial A_3} \right) + H\rho = 0,$	<p style="text-align: center;"><u>eksenel simetrik yük</u></p> $\frac{\partial T}{\partial A_4} - \frac{1}{r} \frac{\partial}{\partial r} \left(r \frac{\partial T}{\partial A_1} \right) = 0,$ $\frac{\partial T}{\partial A_5} - \frac{1}{r} \frac{\partial}{\partial r} \left(r \frac{\partial T}{\partial A_2} \right) = 0,$ $\frac{\partial T}{\partial A_3} - \frac{1}{r} \frac{\partial}{\partial r} \left(r \frac{\partial T}{\partial A_5} \right) + \rho h = 0, \quad \frac{\partial T}{\partial A_6} - \frac{1}{r} \frac{\partial}{\partial r} \left(r \frac{\partial T}{\partial A_3} \right) + H\rho = 0,$
---	---

bünye denklemleri

$$-\frac{\partial \bar{U}}{\partial F_i} + \frac{\partial B}{\partial F_i} = 0, (i=1, \dots, 4), \quad -\frac{\partial \bar{U}}{\partial F_i} + \frac{\partial B}{\partial F_i} = 0, (i=1, \dots, 6)$$

Şekil-yer değiştirmeye $\frac{\partial B}{\partial F_i} - \frac{\partial T}{\partial F_i} = 0, (i=1, \dots, 4)$, $\frac{\partial B}{\partial F_i} - \frac{\partial T}{\partial F_i} = 0, (i=1, \dots, 6)$, denklemleri

bulunur.

(4.18) de (4.14) ve (4.15) de verilen ifadeler yerine konulursa

<p style="text-align: center;"><u>serit yük</u></p> $F_{1,1} = 0,$ <p>denge denklemleri</p> $F_{1,r} + F_{1,r} - \frac{F_3}{r} = 0,$ $F_{2,1} - 2F_4 = 0, \quad \frac{F_2}{r} + F_{2,r} - \frac{F_6}{r} - F_4 = 0,$ $-F_3 + F_{4,1} - \rho H = 0, \quad -F_3 + \frac{1}{2} F_{4,r} + \frac{1}{2} \frac{F_4}{r} - H\rho = 0,$	<p style="text-align: center;"><u>eksenel simetrik yük</u></p> $\frac{F_1}{r} + F_{1,r} - \frac{F_3}{r} = 0,$ $F_{2,1} - 2F_4 = 0, \quad \frac{F_2}{r} + F_{2,r} - \frac{F_6}{r} - F_4 = 0,$ $-F_3 + F_{4,1} - \rho H = 0, \quad -F_3 + \frac{1}{2} F_{4,r} + \frac{1}{2} \frac{F_4}{r} - H\rho = 0,$
--	---

$$\begin{aligned}
 F_1 &= A\Gamma_1 + B\Gamma_2 + C\Gamma_3 + D\Gamma_4 + E\Gamma_5 + F\Gamma_6, \\
 F_1 &= A\Gamma_1 + B\Gamma_2 + C\Gamma_3, \quad F_2 = B\Gamma_1 + D\Gamma_2 + E\Gamma_3 + F\Gamma_4 + G\Gamma_5 + H\Gamma_6, \\
 \text{bünye denklemleri} \quad F_2 &= B\Gamma_1 + D\Gamma_2 + E\Gamma_3, \quad F_3 = C\Gamma_1 + D\Gamma_2 + A\Gamma_3 + C\Gamma_4 + E\Gamma_5 + F\Gamma_6, \\
 F_3 &= C\Gamma_1 + E\Gamma_2 + A\Gamma_3, \quad F_4 = 4G\Gamma_4, \\
 F_4 &= 2G\Gamma_4, \quad F_5 = C\Gamma_1 + E\Gamma_2 + C\Gamma_3 + A\Gamma_4 + B\Gamma_5, \\
 F_6 &= E\Gamma_1 + F\Gamma_2 + E\Gamma_3 + B\Gamma_4 + D\Gamma_6,
 \end{aligned} \tag{4.19}$$

Şekil-yer değiştirme denklemleri

Serit yük	eksenel simetrik yük
$\Gamma_1 = m_{1,1}$,	$\Gamma_1 = f_{1,r}$,
$\Gamma_2 = m_{2,1}$,	$\Gamma_2 = f_{2,r}$,
$\Gamma_3 = h_1$,	$\Gamma_3 = g_{1,r}$,
$\Gamma_4 = m_2 + \frac{1}{2}h_{1,1}$,	$\Gamma_4 = \frac{1}{2}(g_{1,r} + 2f_2)$,
	$\Gamma_5 = \frac{1}{r}f_1$,
	$\Gamma_6 = \frac{1}{r}f_2$.

Burada Serit ve eksenel simetrik yük için

$$\begin{aligned}
 A &= h \sum_{k=1}^n (2\mu^{(k)} + \lambda^{(k)}), \quad B = \frac{h^3}{3} \sum_{k=1}^n (2\mu^{(k)} + \lambda^{(k)})((k-1)^3), \\
 C &= h \sum_{k=1}^n \lambda^{(k)}, \quad D = \frac{h^5}{5} \sum_{k=1}^n (2\mu^{(k)} + \lambda^{(k)})((k-1)^5), \\
 E &= \frac{h^3}{3} \sum_{k=1}^n \lambda^{(k)}(k^3 - (k-1)^3), \quad G = \frac{h^3}{3} \sum_{k=1}^n \mu^{(k)}(k^3 - (k-1)^3),
 \end{aligned} \tag{4.20}$$

ve eksenel simetrik yük için

$$F = \frac{h^5}{5} \sum_{k=1}^n \lambda^{(k)}(k^5 - (k-1)^5).$$

(4.19) daki bünye ve şekil-yer değiştirme denklemlerinde yerine konursa

Serit yük için

$$A m_{1,II} + B m_{2,II} + C h_{1,I} = 0, \quad (4.21)$$

$$B m_{1,II} + D m_{2,II} + (\Sigma - 2G) h_{1,I} - 4G m_2 = 0,$$

$$G h_{1,II} - C m_{1,I} + (2G - \Sigma) m_{2,I} - A h_1 - \rho H = 0,$$

ve eksenel simetrik yük için

$$A \frac{d}{dr} \left[\frac{1}{r} \frac{d}{dr} (rf_1) \right] + B \frac{d}{dr} \left[\frac{1}{r} \frac{d}{dr} (rf_2) \right] + C g_{1,r} = 0,$$

$$B \frac{d}{dr} \left[\frac{1}{r} \frac{d}{dr} (rf_1) \right] + D \frac{d}{dr} \left[\frac{1}{r} \frac{d}{dr} (rf_2) \right] - 4G f_2 + (\Sigma - 2G) g_{1,r} = 0,$$

$$(2G - \Sigma) \frac{1}{r} \frac{d}{dr} (rf_2) - C \frac{1}{r} \frac{d}{dr} (rf_1) - Ag_1 + G \frac{1}{r} \frac{d}{dr} (r \frac{dg_1}{dr}) - H\rho = 0, \quad (4.22)$$

elde edilir.

(4.21) ve (4.22) girişimli (coupled) denklem takımları, şerit yük ve eksenel simetrik yük problemlerinin genelleştirilmiş yer değiştirmelerinden ifade edilmiş olan ana denklemlerdir.

V. Tek Elastik Tabaka İçin Örnek Problem

Bu kısımda, H kalınlığında, sürtünmesiz ve riyit bir temele oturan tek elastik tabakadaki gerilme ve yer değiştirmeye dağılımları hem katı hem de yaklaşık metodlarla her iki problem (2a genişliğinde uniform şerit ve α yarıçapında uniform eksenel simetrik yüklerle maruz) için elde edilmişdir. (Şekil 3). Uniform şerit yük problemi için x_1 yönünde Fourier sinüs-kosinüs transformları, uniform eksenel simetriye sahip yük problemi içinde r yönünde Hankel transformu kullanılmıştır. Yaklaşık ve kesin metod neticeleri karşılaştırılmıştır.

A Kesin Metodla Çözüm

Problemlerin simetri şartları göz önüne alınırsa, elastisite denklemlerini sağlayan yer değiştirmeye bileşenleri Fourier ve Hankel entegrale-ri yardımıyla aşağıda gösterildiği gibi ifade edilebilirler:

Şerit yük için:

$$u_1(x_1, x_2) = \frac{2}{\pi} \int_0^{\infty} [(A_1 + A_2 x_2) e^{-\alpha x_2} + (A_3 + A_4 x_2) e^{\alpha x_2}] \sin \alpha x_1 d\alpha, \quad (5.1)$$

$$u_2(x_1, x_2) = \frac{2}{\pi} \int_0^{\infty} \left\{ [A_1 + (\frac{k}{\alpha} + x_2) A_2] e^{-\alpha x_2} + [-A_3 + (\frac{k}{\alpha} - x_2) A_4] e^{\alpha x_2} \right\} \cos \alpha x_1 d\alpha,$$

eksenel simetrik yük için:

$$u_r(r, z) = \int_0^{\infty} \alpha \left[[-C_1 - (\frac{k}{\alpha} + z) C_2] e^{\alpha z} + [C_3 - (\frac{k}{\alpha} - z) C_4] e^{-\alpha z} \right] J_0(\alpha r) d\alpha, \quad (5.2)$$

$$u_z(r, z) = \int_0^{\infty} \alpha \left[(C_1 + z C_2) e^{\alpha z} + (C_3 + z C_4) e^{-\alpha z} \right] J_0(\alpha r) d\alpha.$$

Denklem (5.2) de J_0 ve J_1 sıfır ve birinci dereceden Bessel fonksiyonları göstermektedir. (5.1) ve (5.2) denklemlerinde A_i ($i=1-4$) Fourier transformu değişkeni (α), C_i ($i=1-4$) ise Hankel transformu değişkeni

(∞)'nin fonksiyonları olup değerleri (3.2) sınır şartlarından bulunmuştur. Aynı denklemlerde $k=3-4\psi$ ve ψ Poisson oranıdır. Gerilme bileşenleri $\tau_{11}, \tau_{22}, \tau_{12}, \tau_{33}$ (şerit yük için) ve $\tau_{rr}, \tau_{\theta\theta}, \tau_{zz}, \tau_{rz}$ (eksenel simetrik yük için) (3.1) deki bünye denklemleri kullanılarak elde edilmiştir. Yer değiştirme ve gerilme bileşenleri ifadelerinde görülen (∞) entegraller Simpson nümerik entegrasyon tekniği (7) ile bulunmuştur.

B. Yaklaşık Metodla Çözüm

Problemlerin simetri özellikleri göz önüne alınarak (4.21) denklemelinin ilk ikisinin Fourier-sinüs, sonucusunun Fourier-kosinüs transformu; (4.22) denklemlerinin ilk ikisinin birinci dereceden ve sonucusunun sıfırıcı dereceden Hankel transformları alınırsa

şerit yük için:

$$\begin{bmatrix} A\alpha^2 & B\alpha^2 & C\alpha \\ B\alpha^2 & D\alpha^2 + 4G & (E-2G)\alpha \\ C\alpha & (E-2G)\alpha & A+G\alpha^2 \end{bmatrix} \begin{bmatrix} m_1^S \\ m_2^S \\ h_1^C \end{bmatrix} = \begin{bmatrix} 0 \\ 0 \\ -H\rho^c \end{bmatrix} \quad (5.3)$$

eksenel simetrik yük için:

$$\begin{bmatrix} A\alpha^2 & B\alpha^2 & C\alpha \\ B\alpha^2 & D\alpha^2 + 4G & (E-2G)\alpha \\ C\alpha & (E-2G)\alpha & A+G\alpha^2 \end{bmatrix} \begin{bmatrix} f_1' \\ f_2' \\ g_1' \end{bmatrix} = \begin{bmatrix} 0 \\ 0 \\ -H\rho^o \end{bmatrix} \quad (5.4)$$

bulunur. (5.3) de $m_\alpha^S (\alpha=1,2)$ ve h_1^C, m_α ve h_1^C in Fourier-sinüs ve kosinüs transformlarını ve ρ^c ise üst yüzeydeki üniform şerit yükün kosinüs transformunu; denklem (5.4) de $f_1', f_2'; f_1$ ve f_2 'nin birinci dereceden Hankel transformlarını, g_1^o , g_1 in sıfırıcı dereceden Hankel transformunu ve ρ^o ise üniform dairesel yükün sıfırıcı dereceden Hankel transformunu göstermektedir. Üniform şerit ve dairesel yükler için

$$\begin{aligned} \rho^c &= \int_0^\infty \rho_0 \cos \alpha x_1 dx_1 = \rho_0 \sin \alpha \alpha / \alpha \\ \rho^o &= \int_0^\infty r \rho_0 J_0(\alpha r) dr = \rho_0 \alpha J_1(\alpha \alpha) / \alpha \end{aligned} \quad (5.5)$$

elde edilir.

(4.4) denklemleri, (3.1) denklemlerindeki şekil yer değiştirme ifadele-ri, bünye denklemleri kullanılsa

şerit yük için:

$$u_1 = \frac{2}{\pi} \int_0^{\infty} (m_1^s + x_2^2 m_2^s) \sin \alpha x_2 d\alpha,$$

$$u_2 = \frac{2}{\pi} \int_0^{\infty} x_2 h_1^c \cos \alpha x_1 d\alpha, \quad (5.6)$$

ve

$$\frac{1}{2\mu} \tau_{11} = \frac{2}{\pi(1-2\nu)} \int_0^{\infty} [\alpha(1-\nu)(m_1^s + x_2^2 m_2^s + \nu h_1^c)] \cos \alpha x_1 d\alpha,$$

$$\frac{1}{2\mu} \tau_{22} = \frac{2}{\pi(1-2\nu)} \int_0^{\infty} [(1-\nu)h_1^c + \nu(m_1^s + x_2^2 m_2^s)] \cos \alpha x_1 d\alpha, \quad (5.7)$$

$$\frac{1}{2\mu} \tau_{12} = \frac{2}{\pi} \int_0^{\infty} (m_2^s - \frac{1}{2}\alpha h_1^c) \sin \alpha x_1 d\alpha,$$

$$\tau_{33} = \nu(\tau_{11} + \tau_{22}),$$

eksenel simetrik yük için:

$$u_r = \int_0^{\infty} \alpha [f_1' + z^2 f_2'] J_0(\alpha r) d\alpha,$$

$$u_z = \int_0^{\infty} \alpha z g_1^o J_0(\alpha r) d\alpha, \quad (5.8)$$

ve

$$\tau_{rr} = \int_0^{\infty} \alpha \left\{ [(f_1' + z^2 f_2') \alpha (2\mu + \lambda) + \lambda g_1^o] J_0(\alpha r) - \right. \\ \left. - \frac{2\mu}{r} (f_1' + z^2 f_2') J_1(\alpha r) \right\} d\alpha,$$

$$\tau_{zz} = \int_0^{\infty} \alpha \left\{ (f_1' + z^2 f_2') \frac{2\mu}{r} J_1(\alpha r) + [\lambda \alpha (f_1' + z^2 f_2') + \lambda g_1^o] J_0(\alpha r) \right\} d\alpha,$$

$$\tau_{rz} = \mu z \int_0^{\infty} \alpha (2f_2' - \alpha g_1^o) J_1(\alpha r) d\alpha,$$

bulunur.

Şerit yük probleminin kesin ve yaklaşık teorilerle bulunan nümerik çözüm sonuçları Şekil (4-9)'da ve eksenel simetrik yük problemi için ise bu karşılaştırma Şekil (10-14)'de gösterilmiştir. Her iki problem içinde $V=3$ ve $H=a$ alınmıştır. Üst yüzey nümerik hesaplar yönünden hassas olduğu için yer değiştirme ve gerilme dağılımları özellikler üst yüzeyde karşılaştırılmışlardır. Şekillerden görüleceği üzere yaklaşık teori sonuçları, kesin teori sonuçlarına oldukça yakındır.

VI. Konsolidasyon Probleminde Visko-Elastik Malzeme Fonksiyonlarının Formları

Deneysel çalışmalar, zeminin hacimsel şekil değiştirmesinin Kelvin modeli ile, kayma şekil değiştirmesinin ise Maxwell modeli ile tanımlanmasının uygun olduğunu göstermiştir.

A. Hacimsel Şekil Değiştirme

Kelvin modeli ile ilgili gevşeme (relaxation) fonksiyonu $t=0$ zamanında sonsuz olduğundan (denklem 2.12), bu çalışmada hacimsel şekil değiştirme, G_0 yayı (Şekil 15) çok sert (G_0 yay sabiti G_v yay sabitine nazaran çok büyük) olan standart lineer modelle temsil edilmiştir.

Konsolidasyon zamanı drenaj yolunun uzunluğuna bağlıdır. Eğer temel geçirimsiz ise, drenaj ancak yukarı tabakalar üzerinde olabilmekte ve Terzaghi'nin bir boyutlu konsolidasyon teorisine göre (2), konsolidasyon zamanının derinliğin karesi ile orantılı olacağı kabul edilmektedir. Bu durumda, "bulk"-sünme modülü $K'(t)$, derinliğin, $(H-x_2)$, fonksiyonu olmakta ve aşağıda gösterilen ifadeyle verilmektedir:

$$K'(t) = \frac{1}{G_0} + \frac{1}{G_v} \left[1 - \exp\left(\frac{-3\alpha^2 t}{2\tau_v^o (H-x_2)^2}\right) \right] \quad (6.1)$$

Bu denklemde G_0 yardımcı yay sabitini; G_v yağ kutusuna paralel bağlı yay sabitini; $\tau_v^o = \eta_v / G_v$ yitizyeden α derinliğindeki gevşeme zamanını; η_v ise viskozite sabitini göstermektedir (Şekil 15). (2.19) ve (6.1) denklemleri yararımıyla "bulk"-gevşeme fonksiyonu, $K(t)$,

$$K(t) = \frac{G_0}{G_0 + G_v} \left[G_v + G_0 \cdot \exp\left(\frac{-3(G_0+G_v)\alpha^2}{2G_v\tau_v^o(H-x_2)^2} t\right) \right] \quad (6.2)$$

olarak bulunur. $K(t)$ nin her ince tabakada sabit olduğu kabul edilmiş olduğundan, k tabakası için

$$\zeta^{(k)}(t) = \frac{G_0}{G_0 + G_v} \left[G_v + G_0 \cdot \exp\left(\frac{-3(G_0+G_v)\alpha_k^2}{2G_v\tau_v^2\alpha_k^2 h^2} t\right) \right] \quad (6.3)$$

bulunur. Burada $k=1, 2, \dots, n$ ve

$$\alpha_k = \frac{2n-2k+1}{2}$$

B. Kayma Şekil Değiştirmesi

Yukarıda bahsedildiği üzere, kayma şekil değiştirmesi Maxwell modeli ile tanımlanmaktadır. Yay sabiti G_D ve viskozite katsayısı η_D olan (Şekil 16) Maxwell modeli için kayma-sınırme fonksiyonu

$$\mu'(t) = \frac{1}{G_D} + \frac{1}{\eta_D} t \quad (6.4)$$

olarak elde edilir. (2.22) ve (6.4) denklemleri yardımıyla, kayma-gevşeme fonksiyonu, $\mu(t)$,

$$\mu(t) = G_D \exp(-t/\tau_D) \quad (6.5)$$

olarak bulunur. Burada, $\tau_D = \eta_D / G_D$ gecikme (retardation) zamanıdır.

Elastisite teorisindeki $\lambda = k - \frac{2}{3}\mu$ Lamé sabitinin visko-elastik karşıtı benzerlik prensibi kullanılarak

$$\lambda^{(k)}(t) = \frac{G_0}{G_0 + G_v} \left[G_v + G_0 \exp\left(\frac{-3(G_0+G_v)\alpha_k^2}{2G_v\tau_v^2\alpha_k^2 h^2} t\right) \right] - \quad (6.6)$$

$$-\frac{2}{3} G_D \exp(-t/\tau_D)$$

şeklinde bulunmuştur.

VII. Çok Tabakalı Visko-Elastik Ortam İçin Yaklaşık Teori

Çok tabakalı visko-elastik ortam için yaklaşık teorinin geliştirilmesinde benzerlik prensibi kullanılacaktır.

Elastik yaklaşık teori ana denklemlerinin (4.21, 4.22) Laplace transformu alınır elastik malzeme sabitleri karşıt viskoelastik malzeme fonksiyonları Laplace transformu ve transform parametresi çarpımıyla değiştirilirse

şerit yük için

$$\begin{aligned} A^L m_{1,11}^L + B^L m_{2,11}^L + C^L h_{1,11}^L &= 0, \\ B^L m_{1,11}^L + D^L m_{2,11}^L + (\varepsilon^L - 2G^L) h_{1,11}^L - 4G^L m_2^L &= 0, \end{aligned} \quad (7.1)$$

$$G^L h_{1,11}^L - C^L m_{1,11}^L + (2G^L - E^L) m_{2,11}^L - A^L h_{1,11}^L - \rho H \frac{1}{s} = 0,$$

eksenel simetrik yük için

$$A^L \frac{d}{dr} \left[\frac{1}{r} \frac{d}{dr} (rf_1^L) \right] + B^L \frac{d}{dr} \left[\frac{1}{r} \frac{d}{dr} (rf_2^L) \right] + C^L g_{1,r}^L = 0,$$

$$B^L \frac{d}{dr} \left[\frac{1}{r} \frac{d}{dr} (rf_1^L) \right] + D^L \frac{d}{dr} \left[\frac{1}{r} \frac{d}{dr} (rf_2^L) \right] + 4G^L f_2^L + (\varepsilon^L - 2G^L) g_{1,r}^L = 0,$$

$$(2G^L - E^L) \frac{1}{r} \frac{d}{dr} (rf_2^L) - C^L \frac{1}{r} \frac{d}{dr} (rf_1^L) - A^L g_{1,r}^L + G^L \frac{1}{r} \frac{d}{dr} (r \frac{dg_1^L}{dr}) - \frac{\rho H}{s} = 0 \quad (7.2)$$

elde edilir. (7.1) ve (7.2) denklemleri visko-elastik yaklaşık teorinin ana denklemeleri olup burada

$$A^L = sh \sum_{k=1}^n (2\mu^{(k)L} + \lambda^{(k)L}),$$

$$B^L = s \frac{h^3}{3} \sum_{k=1}^n (2\mu^{(k)L} + \lambda^{(k)L}) (k^3 - (k-1)^3),$$

$$\begin{aligned}
 C^L &= sh \sum_{k=1}^n \lambda^{(k)L}, \\
 D^L &= s \frac{h^3}{5} \sum_{k=1}^n (2\mu^{(k)L} + \lambda^{(k)L})(k^5 - (k-1)^5), \\
 E^L &= s \frac{h^3}{3} \sum_{k=1}^n \lambda^{(k)L} (k^3 - (k-1)^3), \\
 G^L &= s \frac{h^3}{3} \sum_{k=1}^n \mu^{(k)L} (k^3 - (k-1)^3),
 \end{aligned} \tag{7.3}$$

ve eksenel simetrik yük için

$$F^L = s \frac{h^3}{5} \sum_{k=1}^n \lambda^{(k)L} (k^5 - (k-1)^5).$$

Simetri durumları gözönüne alınarak, şerit yük problemi için x_1 yönde Fourier sinüs, Fourier kosinüs transformları, eksenel simetrik yük problemi için radyal yönde Hankel transformu kullanılırsa

şerit yük için

$$\begin{bmatrix} A^L \alpha^2 & B^L \alpha^2 & C^L \alpha \\ B^L \alpha^2 & D^L \alpha^2 + 4G^L & (E^L - 2G^L)\alpha \\ C^L \alpha & (E^L - 2G^L)\alpha & G^L \alpha^2 + A^L \end{bmatrix} \begin{bmatrix} m_1^{LS} \\ m_2^{LS} \\ h_1^{LC} \end{bmatrix} = \begin{bmatrix} 0 \\ 0 \\ -\frac{hp^c}{s} \end{bmatrix} \tag{7.4}$$

eksenel simetrik yük için

$$\begin{bmatrix} A^L \alpha^2 & B^L \alpha^2 & C^L \alpha \\ B^L \alpha^2 & D^L \alpha^2 + 4G^L & (E^L - 2G^L)\alpha \\ C^L \alpha & (E^L - 2G^L)\alpha & (A^L + G^L \alpha^2) \end{bmatrix} \begin{bmatrix} f_1^{IL} \\ f_2^{IL} \\ g_1^{OL} \end{bmatrix} = \begin{bmatrix} 0 \\ 0 \\ -\frac{hp^o}{s} \end{bmatrix} \tag{7.5}$$

elde edilir. Burada

$$\rho^c = \rho_o \sin \alpha \alpha / \alpha, \quad \rho^o = \rho \alpha J_1(\alpha \alpha) / \alpha. \tag{7.6}$$

Benzerlik prensibi kullanılırsa, yer değiştirme ve gerilme bileşenlerinin Laplac'a uzayındaki formları

şerit yük için

$$\begin{aligned}
 u_1^L &= m_1^L + x_2^2 m_2^L, \\
 u_2^L &= x_2 h_1^L, \\
 \tau_{11}^{(k)L} &= s(2\mu^{(k)L} + \lambda^{(k)L})\left(\frac{\partial m_1^L}{\partial x_1} + x_2^2 \frac{\partial m_2^L}{\partial x_1}\right) + s\lambda^{(k)L} h_1^L, \\
 \tau_{22}^{(k)L} &= s\lambda^{(k)L} \left(\frac{\partial m_1^L}{\partial x_1} + x_2^2 \frac{\partial m_2^L}{\partial x_1}\right) + s(2\mu^{(k)L} + \lambda^{(k)L}) h_1^L, \\
 \tau_{12}^{(k)L} &= s\mu^{(k)L} \left(2m_2^L + \frac{\partial h_1^L}{\partial x_1}\right) x_2, \\
 \tau_{33}^{(k)L} &= s\lambda^{(k)L} \left(\frac{\partial m_1^L}{\partial x_1} + x_2^2 \frac{\partial m_2^L}{\partial x_1} + h_1^L\right), \tag{7.8}
 \end{aligned}$$

eksenel simetrik yük için

$$\begin{aligned}
 u_1^L &= f_1^L + z^2 f_2^L, \\
 u_2^L &= z g_1^L, \\
 \tau_{rr}^{(k)L} &= s(2\mu^{(k)L} + \lambda^{(k)L})(f_{1,r}^L + z^2 f_{2,r}^L) + s\lambda^{(k)L} \left(\frac{f_1^L}{r} + z^2 \frac{f_2^L}{r} + g_1^L\right), \\
 \tau_{00}^{(k)L} &= s(2\mu^{(k)L} + \lambda^{(k)L}) \left(\frac{f_1^L}{r} + z^2 \frac{f_2^L}{r}\right) + s\lambda^{(k)L} (f_{1,r}^L + z^2 f_{2,r}^L + g_1^L), \\
 \tau_{zz}^{(k)L} &= s(2\mu^{(k)L} + \lambda^{(k)L}) g_{1,r}^L + s\lambda^{(k)L} \left(f_{1,r}^L + z^2 f_{2,r}^L + \frac{f_1^L}{r} + z^2 \frac{f_2^L}{r}\right), \\
 \tau_{zr}^{(k)L} &= s z \mu^{(k)L} (g_{1,r}^L + 2f_2^L) \tag{7.9}
 \end{aligned}$$

şeklindedir. Burada

$$\begin{aligned}
 m_1^L &= \frac{2}{\pi} \int_0^\infty m_1^{Ls} \sin \alpha x, d\alpha, \\
 m_2^L &= \frac{2}{\pi} \int_0^\infty m_2^{Ls} \sin \alpha x, d\alpha, \\
 h_1^L &= \frac{2}{\pi} \int_0^\infty h_1^{Lc} \cos \alpha x, d\alpha, \tag{7.10}
 \end{aligned}$$

ve

$$f_1^L = \int_0^\infty \alpha f_1^{IL} J_1(\alpha r) d\alpha,$$

$$f_2^L = \int_0^\infty \alpha f_2^{IL} J_1(\alpha r) d\alpha,$$

$$g_2^L = \int_0^\infty \alpha g_2^{OL} J_0(\alpha r) d\alpha.$$
(7.11)

(7.10) ve (7.11) denklemlerindeki m_1^{LS} , m_2^{LS} , h_1^{LC} ve f_1^{IL} , f_2^{IL} , g_2^{OL} (7.4) ve (7.5) denklemlerinin çözümleri-
dir.

Yer değiştirme ve gerilme dağılımlarının gerçek uzayda elde edilme-
leri için Laplace ve Fourier (veya Hankel) transform terslerinin alınması
gerekir. Hankel ve Fourier transform tersleri için Simpson nümerik meto-
du kullanılmıştır (7). Laplace transform tersi için ise Krylov ve Skoblya
(5) tarafından geliştirilen nümerik bir yöntem kullanılmıştır. Çalışmanın bù-
tuluğunu bozmamak için bu yöntem aşağıda kısa olarak özetlenmiştir.

$f(t)$ fonksiyonunun Laplace transformu

$$f^L(s) = \int_0^\infty e^{-st} f(t) dt$$
(7.12)

şeklinde tanımlanır. Laplace transform tersi

$$f(t) = \frac{1}{2\pi i} \int_{c-i\infty}^{c+i\infty} f^L(s) e^{st} ds$$
(7.13)

ifadesiyle verilir.

(7.13) denkleminde, s test değişken değişimi yapılarsa

$$f(t) = \frac{1}{t} \frac{1}{2\pi i} \int_{\epsilon-i\infty}^{\epsilon+i\infty} f^L(s/t) e^{s'} ds'$$
(7.14)

bulunur. (7.14) denklemine $F(s') = f^L(s'/t)$ konarak ve s' 'nin "dummy" de-
ğis-
ken olduğu gözönüne alınarak

$$f(t) = \frac{1}{t} \frac{1}{2\pi i} \int_{\epsilon-i\infty}^{\epsilon+i\infty} F(s) e^{s'} ds$$
(7.15)

bulunur.

$$F(s) = s^{-m} \phi(s) \text{ ve } I = \frac{1}{2\pi i} \int_{\epsilon-i\infty}^{\epsilon+i\infty} F(s) e^{s'} ds$$

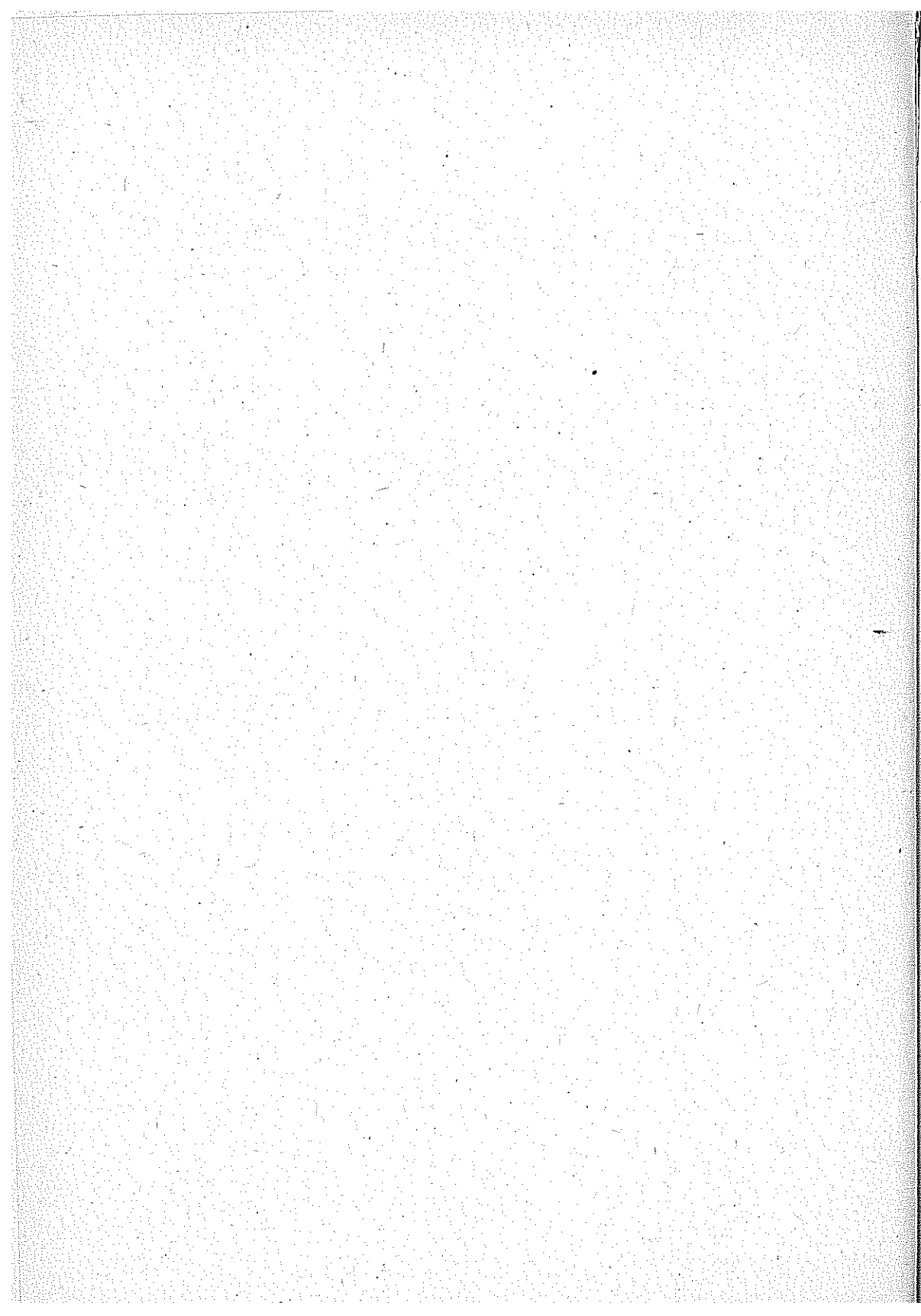
tanımlarıyla (7.15) denklemi

$$f(t) = \frac{1}{t} I$$
(7.16)

şeklini alır. (7.16) denklemindeki I

$$I = \sum_{k=1}^q A_k \phi(s_k) \quad (7.17)$$

serisiyle ifade edilmektedir. Burada A_k ve s_k kompleks sayılar olup değerleri (5)'de çeşitli m ve q için tablo halinde verilmiştir. $f(t)$ nin sıfır ve sonsuz zamanlarındaki değerleri ise Laplace transformu limit teoremleri yardımıyla bulunabilir.



VIII. Örnek Konsolidasyon Problemi

Örnek problem olarak beş ince visko-elastik tabakaya yaklaşımı yapılmış bir zemin tabakasının konsolidasyonu incelenmiştir. Zemin tabakası 2 a genişliğinde uniform şerit veya a yarı çapında dairesel uniform P_0 yüküne maruzdur. Toplam tabaka kalınlığı a olarak alınmıştır. Dolayısıyla her ince tabakanın kalınlığı $0:2$ a olmaktadır. (Şekil 17). Malzeme fonksiyonlarıyla ilgili parametreler

$$\begin{aligned} G_0/G_D &= 10, \\ G_V/G_D &= 2, \\ \tau_v^o/\tau_D &= 1, \end{aligned} \tag{8.1}$$

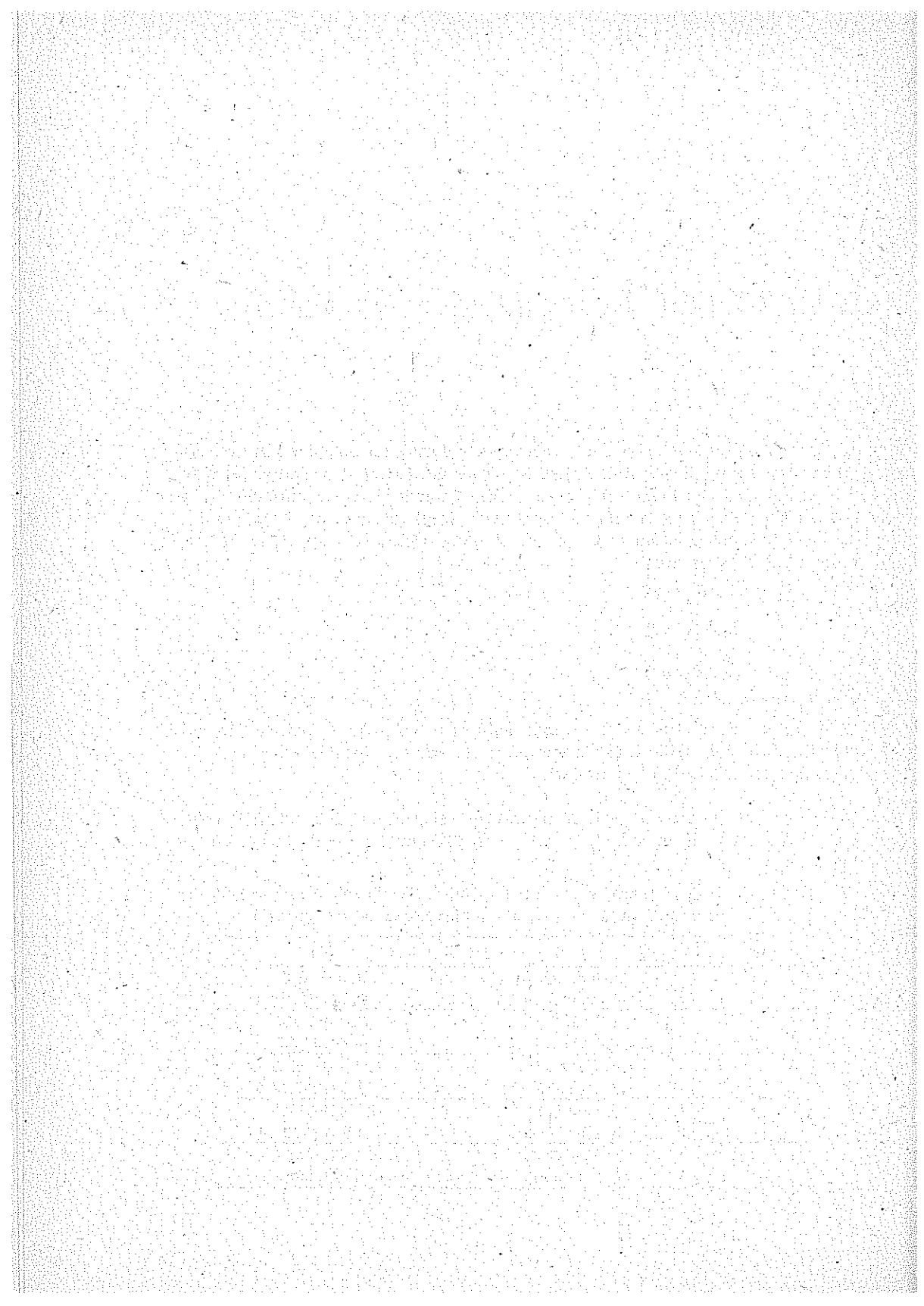
olarak seçilmiştir.

Bu problem bir önceki kısımda anlatılan nümeriksel yöntemlerle çözülmüş olup $m=1$, $q=5$ olarak alınmıştır. Bu duruma tekabül eden A_k ve s_k değerleri Tablo 1'de verilmiştir.

Yer değiştirmeye ve gerilme bileşenleri dağılımları için nümerik sonuçlar $t=0, \tau_D, 2\tau_D, \infty$ zamanlarında bulunmuş ve sonuçlar Şekil (18-34) de gösterilmiştir.

Tablo 1. Laplace transformu tersinin nümerik olarak bulunmasında kullanılan (A_L) ve (S_L)'nin $m=1$ ve $q=5$ işin değerleri.

k	s_k	A_k
1	3.65569432 + 6.54373690 i	3.83966163 - 0.27357039 i
2	3.65569432 - 6.54373690 i	3.83966163 + 0.27357039 i
3	5.70095330 + 3.21026560 i	-25.07945221 + 2.18725229 i
4	5.70095330 - 3.21026560 i	-25.07945221 - 2.18725229 i
5	6.28670475 + 0.00000000 i	43.47958116 + 0.00000000 i



IX . Sonuçlar

Bu çalışmada geliştirilmiş olan yaklaşık teoriler sadece zemin kon-solidasyon probleminin incelenmesinde değil, aynı zamanda homojen olmayan ortamların analizinde kullanılabilir.

Bu raporda drenajın üst yüzey vasıtasıyla olduğu kabul edilmiştir. Eğer drenaj hem üst hem de alt yüzeyler yoluyla olursa, mevcut yaklaşık teoriler, konsolidasyon zamanının derinlikle değişiminde ufak bir düzeltme yapılarak, bu tip problemlerin incelemesinde de kullanılabilirler.

Yaklaşık teorinin presizyonu, yer değiştirmeye bileşenleri serisinde alınan terim sayısına bağlıdır. Presizyonu etki edecek başka bir faktör de alınan ince tabaka sayısıdır. İnce tabaka sayısı arttıkça sonuçların gerçekge daha yakın olması tabidir.

Laplace transformu tersiyle ilgili kullanılan nümerik metod $(0, T)$ zaman aralığında yakınsaktır. Kullanılan nümerik metoddaki terim sayısı arttıkça, üst limit T 'nin değeri de artacaktır.

Zeminin hacimsel şekil değiştirmesi Kelvin modeli yerine standart modelle temsil edilmiştir. Bu seçim sadece matematiksel güçlükleri yemek için yapılmamıştır. Standard model tam doygun olmayan zeminlerin davranışını daha gerçekçi olarak temsil eder.

Zemin davranışının Kelvin ve Maxwell modelleriyle temsil edilmesi halinde Poisson kat sayısının sıfır ve sonsuzdaki değerleri 0.5 olacaktır. Bu çalışmada olduğu gibi, zemin davranışının standart-Maxwell modelleriyle tanımlanması halinde arasındaki Poisson katsayısı yine 0.5 olmakta, fakat bu katsayısının $t=0$ daki değeri G_0/G_D oranına bağlı olmaktadır. Örnek problemde bu oran $G_0/G_D=10$ olarak alınmıştır. Buna mukabil eden $t=0$ zamanındaki Poisson oranı 0.45 olmaktadır. G_0/G_D büyüdüükçe, sıfır zamanındaki Poisson katsayısı 0.5'e yaklaşır.

Sekil (18-34) de gerilme ve yer değiştirmeye bileşenlerinin derinliğe ve yatay istikamete göre değişimleri gerek şerit yük problemi, gerekse ekse-nel simetrik yük problemi için gösterilmiştir. Bu şekillerin incelenmesin - den görüleceği üzere, gerilme bileşenleri dağılımları (yer değiştirmeye bile-şenleri aksine) daha çok yük durumuna bağlı olmakta, malzeme fonksiyon-ları tarafından fazla etkilenmemektedirler.

Özet

Bu çalışmada, geçirimsiz rıjıt bir temele oturan, şerit veya eksenel simetriye haiz yükle maruz, doygun bir zemin tabakasının konsolidasyonu visko-elastik modeller yardımıyla incelenmiştir. Araştırmada, Terzaghi'nin, konsolidasyon zamanının, drenaj yolu uzunluğunun karesiyle orantılı olduğunu kabul eden tek boyutlu konsolidasyon teorisi kullanılmıştır. Ancak, geçirimsiz bir temele oturduğunu kabul edilen tabakada, "bulk" modülü derinliğin karesinin fonksiyonu olmakta ve dolayısıyla tabaka inhomojen hale geldiğinden problemin kesin teori ile çözümü matematik güçlükler göstermektedir. Bu güçlükleri yemek amacı ile, tabakanın, her biri farklı malzeme fonksiyonlarına sahip çok sayıda ince tabakadan oluşan yaklaşımı yapılmıştır. Önce, n ince tabakadan oluşan elastik bir zemin için, Hu-Washizu varyasyon teoreminden faydalananarak, yaklaşık bir teori geliştirilmiş ve bu yaklaşık teorinin ana denklemleri, genelleştirilmiş yer değiştirmeleri bilmeyen olarak ihtiva eden girişimli, lineer, adı diferansiyel denklem takımı halinde elde edilmiştir. Bu yaklaşık teorinin geçerliliği, kesin çözümü bilinen tek elastik tabaka probleminin kesin ve yaklaşık metodlarla çözültüp ueticelerin karşılaşılması yoluyla yapılmış ve yaklaşık teorinin iyi sonuç verdiği görülmüştür. Çok tabakalı visko-elastik problemin çözümü ise elastik çözümünden benzerlik (correspondence) prensibi yardımıyla elde edilmiştir. Eksenel simetriye haiz yük probleminde radyal yönde Hankel, şerit yükle maruz probleme yatay yönde Fourier sintüs, kosinüs transformları uygulanarak her iki problemin ana denklemleri Hankel-Laplace veya Fourier-Laplace uzayında cebriktir. Denklem takımlarına indirgenmiştir. Hankel ve Fourier transformlarının tersi Simpson metodu ile, Laplace transformunun tersi ise Krylov ve Skoblya tarafından geliştirilen nümerik bir yöntemle elde edilmiştir. $t=0$, $t=\infty$ zamanındaki sonuçları elde etmek için Laplace transformu limit teoremleri kullanılmıştır.

Örnek problem olarak, beş ince visko-elastik tabakaya yaklaşımı yapılan bir zemin tabakasının konsolidasyonu incelenmiştir. Zemin tabakasının (2a) genişliğinde uniform şerit veya (a) yarıçapında dairesel uniform yükle maruz olduğu kabul edilmiştir. Her tabakanın kalınlığı (0.2a) alınmış-

tir. Yer değiştirme ve gerilme bileşenleri dağılımları için çeşitli zamanlar için nümerik sonuçlar bulunmuş ve bu sonuçlar grafiklerle gösterilmiştir.

Çalışmada geliştirilmiş olan yaklaşık teori sadece zemin konsolidasyon probleminin incelenmesinde değil, aynı zamanda homojen olmayan ortamların analizinde de kullanılabilir.

Raporda drenajın üst yüzey vasıtasıyla olduğu kabul edilmiştir. Eğer drenaj hem üst hem de alt yüzeyler yoluyla olursa, mevcut yaklaşık teoriler, konsolidasyon zamanının derinlikle değişiminde ufak bir değişiklik yapılarak, bu tip problemlerin incelenmesinde de kullanılabilir.

Summary

In this work, the consolidation problem of a fully saturated visco-elastic layer of finite thickness, resting on a rigid, impervious foundation and subjected to either uniform strip or uniform axially symmetric loading on the top surface, is considered. The work is based on Terzaghi's one dimensional consolidation theory which assumes that the consolidation time varies with the length of the drainage path. Since the bulk modulus is a function of the square of the depth, the layer is inhomogeneous and the problem becomes too complicated to be studied by exact theories. To overcome the mathematical difficulties, the layer is assumed to be made of thin layers, each having different material functions. First, an approximate theory is developed for an elastic medium made of thin layers by using Hu-Washizu's variational theorem. The governing equations of this approximate theory are coupled, linear, ordinary differential equations where the generalized displacements are the unknowns. In order to verify the validity of the approximate theory, the problem of a single elastic layer is solved by both exact and approximate theories. The results compare favorably. The solution of the multi-layered visco-elastic problem is obtained through the use of the correspondence principle. For the axisymmetric problem the Hankel transform is used in the radial direction. For the strip load problem, Fourier sine cosine transforms in the horizontal direction are used. Thus, the governing equations of both problems are obtained, in the Hankel-Laplace, or Fourier-Laplace space, as sets of algebraic equations. The inverse transformations for the Hankel and Fourier transforms are obtained by using Simpson's method. Inverse Laplace transformation is performed using a numerical method developed by Krylov and Skoblya. The initial and the final value theorems of the Laplace transformation are used in order to obtain results at the end, $t = \infty$.

As a sample problem, the consolidation of a soil medium consisting of five visco-elastic layers is studied. The medium is subjected at the top surface to either uniform strip load of width $(2a)$ or a uniform circular load of radius (a) . Each soil layer is assumed to have a thickness $(0.2a)$. Numerical results are obtained for the distributions of displacement and

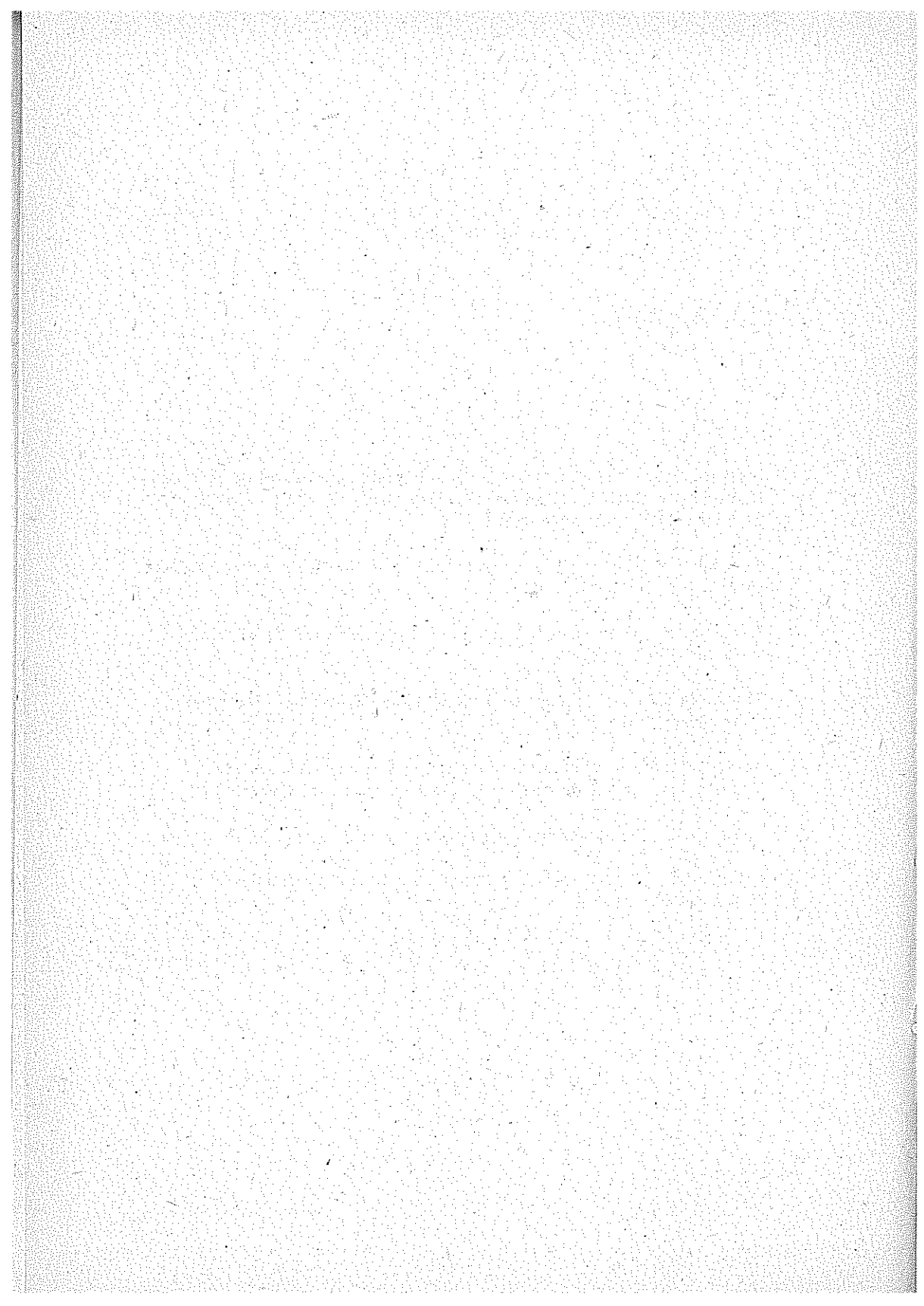
stress components at various times and these results are shown by graphs.

The present theory can also be used to study inhomogeneous media.

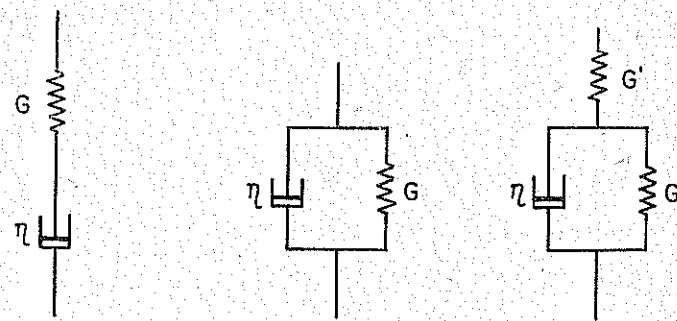
In this report, the drainage is assumed to be through the top surface only. However, the approximate theory can be applied to problems where drainage is possible through both the top and the bottom surfaces. In this case a modification must be made in the variation of the consolidation time with depth.

Yayın Listesi

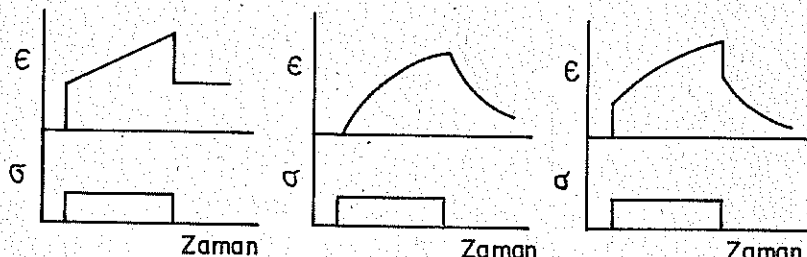
1. Soydemir, C., Schmid, W.C., "Deformation and Stability of Visco-Elastic Soil Media", J. Soil Mech. and Foundation Div., ASCE, Vol. 96, Nov. 1970, pp. 2081, 2098.
2. Terzaghi, K., Peck, R.B., Soil Mechanics in Engineering Practice, John Wiley and Sons, 1962.
3. Washizu, K., Variational Methods in Elasticity and Plasticity, Pergamon Press, 1968.
4. Bland, D.R., The Theory of Linear Visco-Elasticity, Pergamon Press, New York, 1960.
5. Krylov, Skoblya, Handbook of Numerical Inversion of Laplace Transforms, Israel Scientific Translation Program Series 1972.
6. Fung, Y.C., "Foundations of Solid Mechanics", Prentice-Hall, 1965.
7. Conte, S.D., De Boor, C., Elementary Numerical Analysis, McGraw-Hill, 1965.



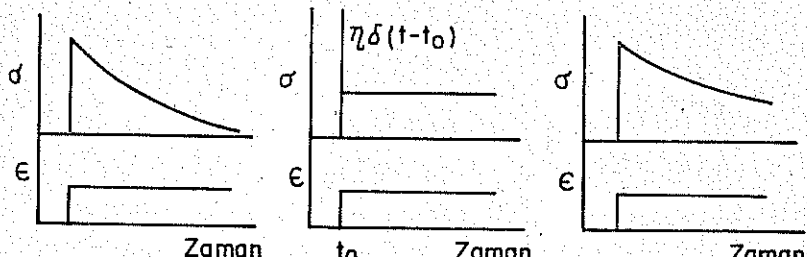
ŞEKİLLER



(a)

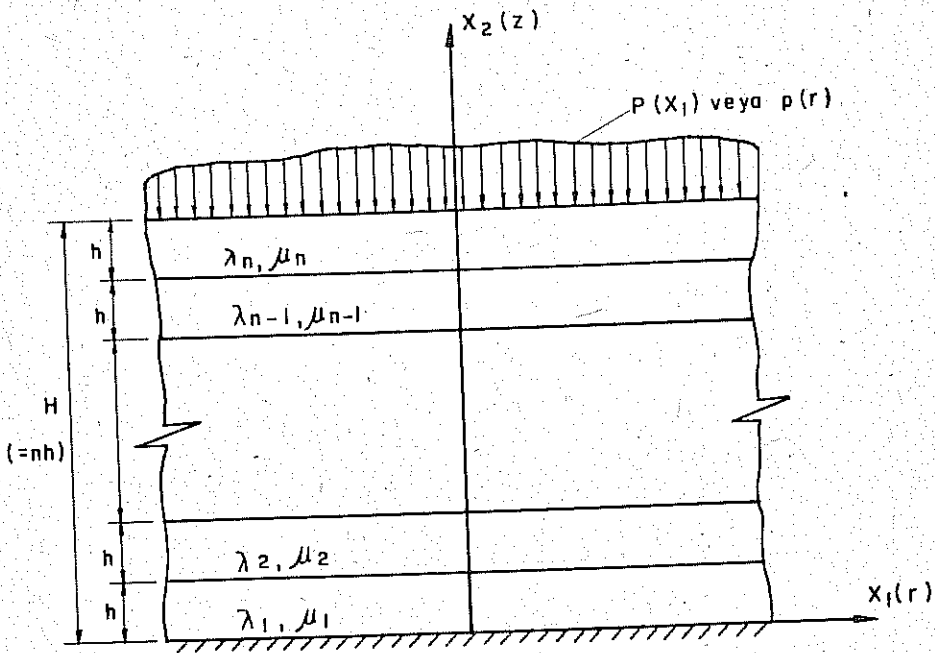


(b)

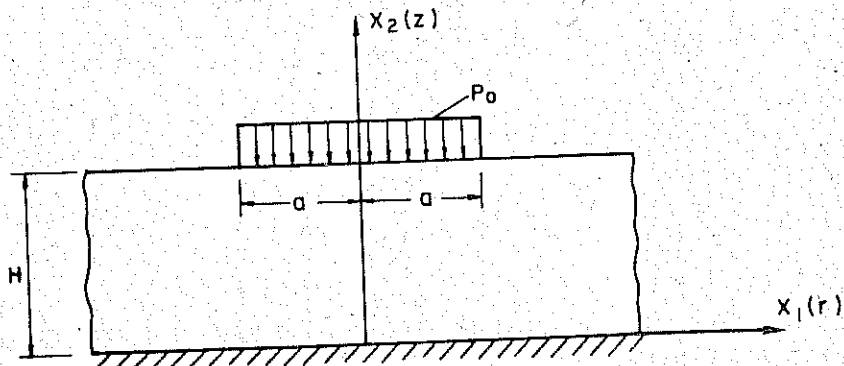


(c)

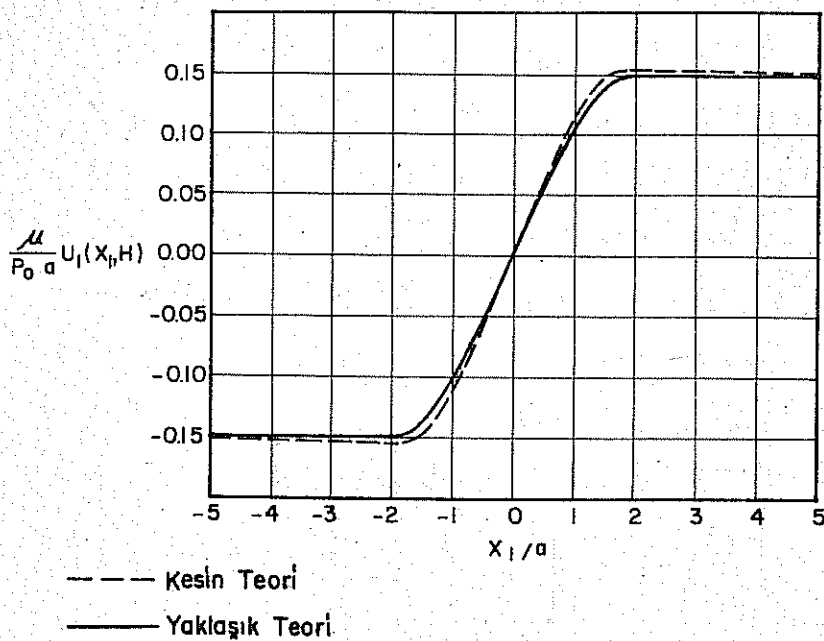
Sekil 1 - (a) Maxwell, Kelvin ve standart Modeller, (b) Sunme fonksiyonlarının zamana göre değişimi (c) Gevşeme fonksiyonlarının zamana göre değişimi.



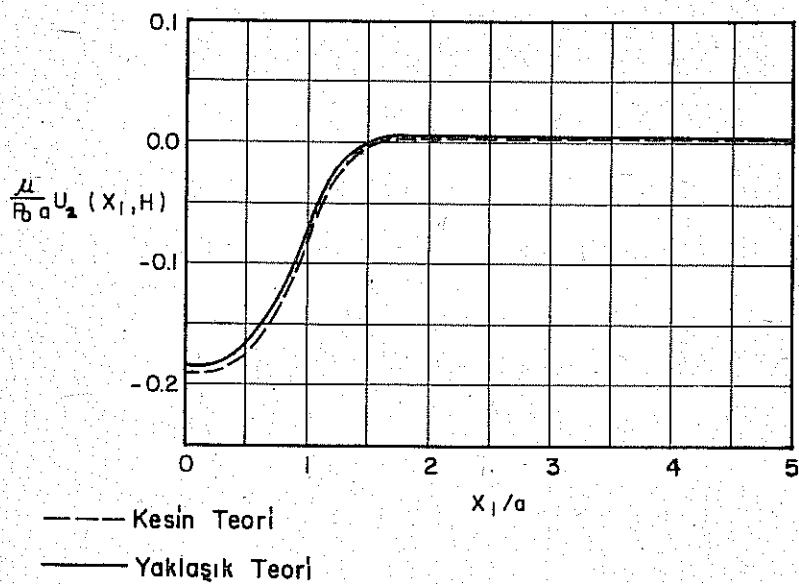
Sekil 2 - Elastik, çok tabaklı problemin konfigürasyonu.



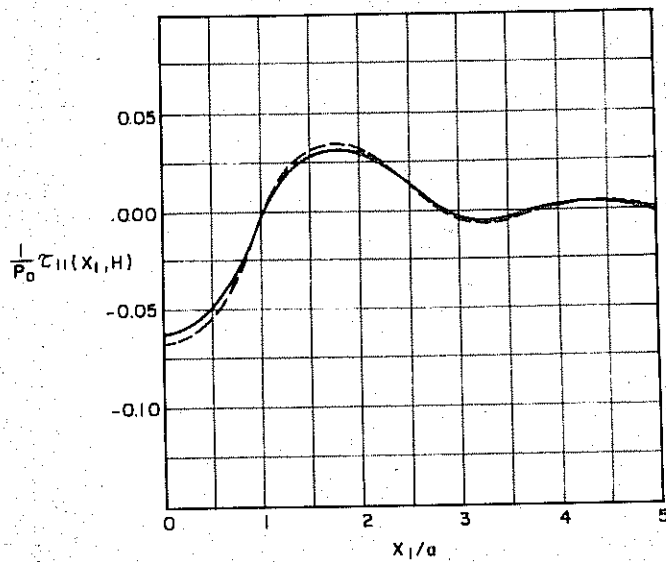
Sekil 3 - Tek elastik tabaka probleminin konfigürasyonu



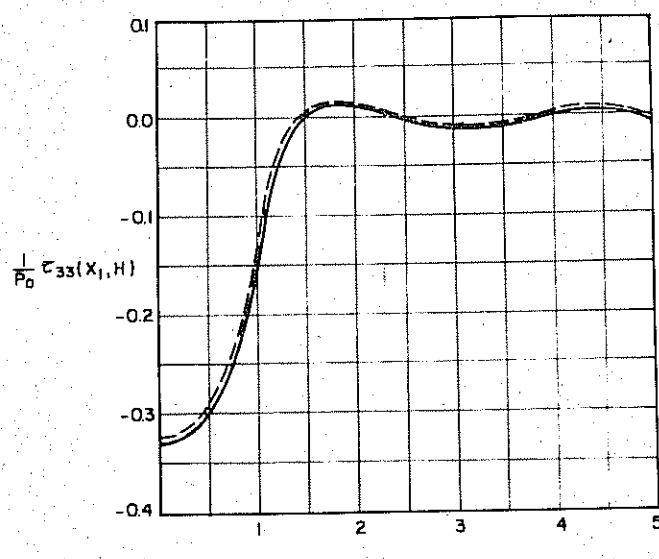
Sekil 4 - Serit yük için üst yüzeydeki yatay yer değiştirmeye bileşeninin (X_1)'e göre değişimi.



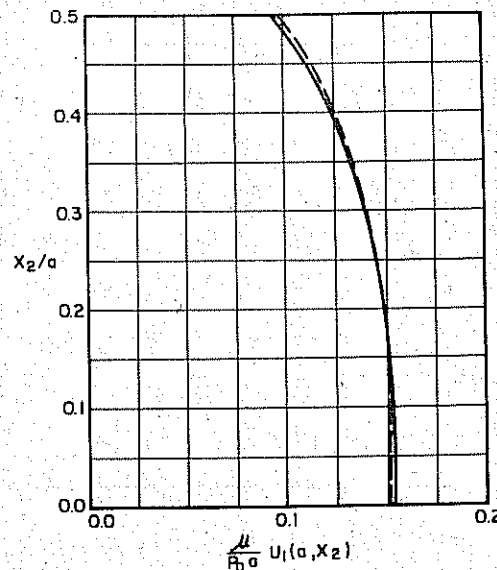
Sekil 5 - Serit yük için üst yüzeydeki düşey yer değiştirmeye bileşeninin (X_1)'e göre değişimi.



Şekil 6 - Serit yük için (τ_{11})'ın üst yüzeyde (X_1)'e göre değişimi.



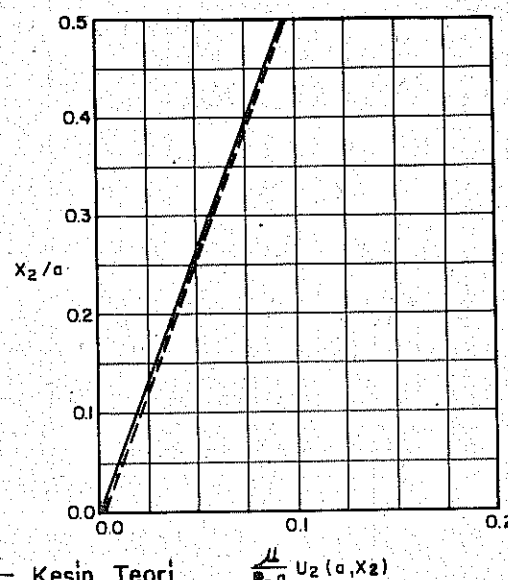
Şekil 7 - Serit yük için (τ_{33})'ın üst yüzeyde (X_1)'e göre değişimi.



— — — Kesin Teori

— — Yaklaşık Teori

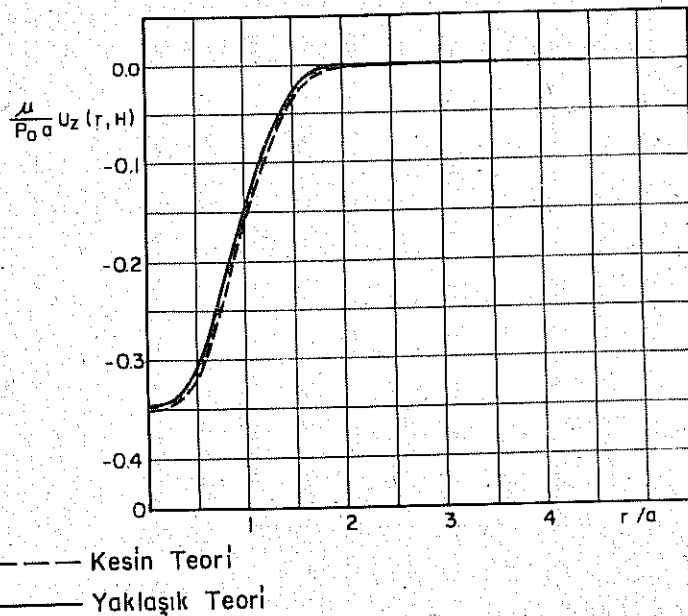
Sekil 8 - Serit yük için $X_1 = a'$ daki yatay yer değiştirmeye bileşeninin (X_2)'e göre değişimi.



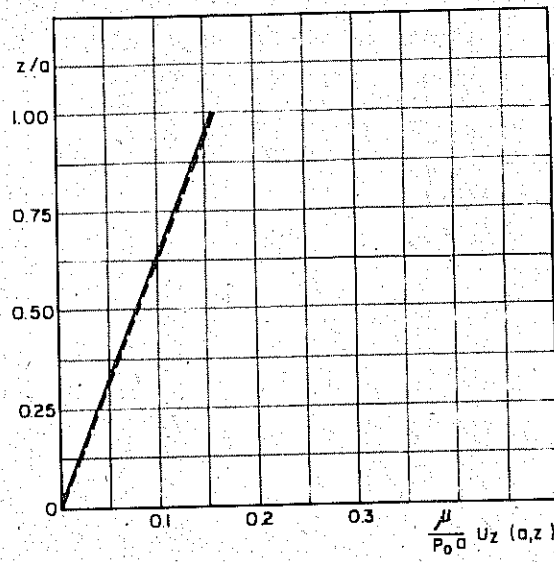
— — — Kesin Teori

— — Yaklaşık Teori

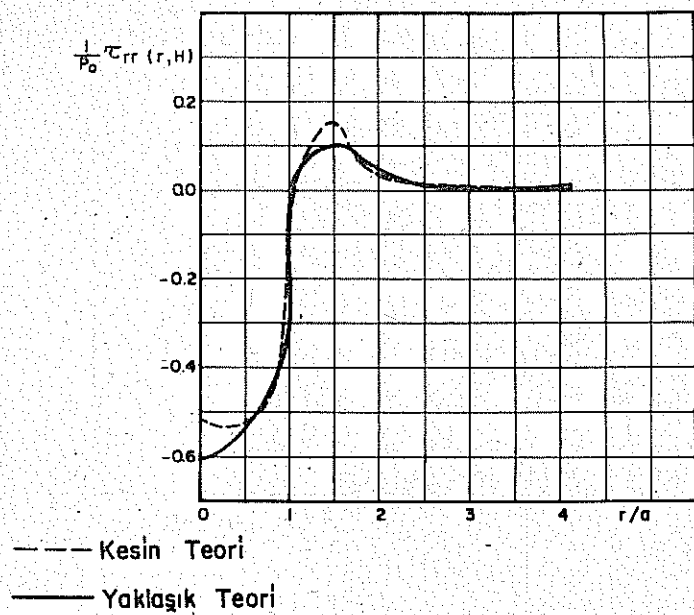
Sekil 9 - Serit yük için $X_1 = a'$ daki düşey yer değiştirmeye bileşeninin (X_2)'e göre değişimi.



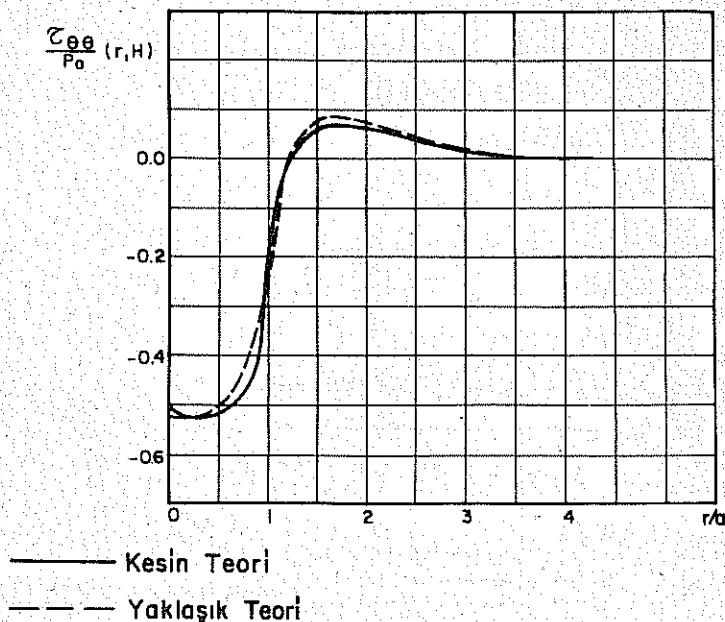
Şekil 10 - Eksenel simetrik yük için üst yüzeydeki düşey yer değiştirmeye bileşeninin (r)'ye göre değişimi.



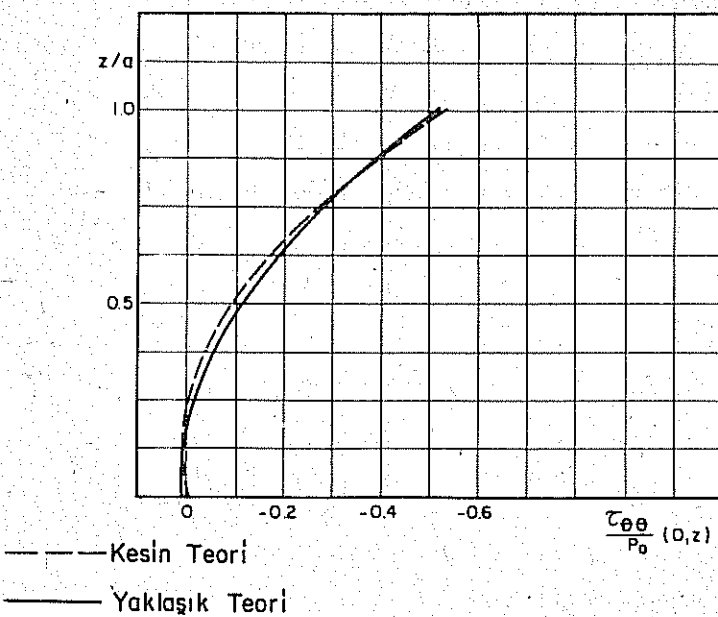
Şekil 11 - Eksenel simetrik yük için $r = a$ 'daki düşey yer değiştirmeye bileşeninin (z)'ye göre değişimi.



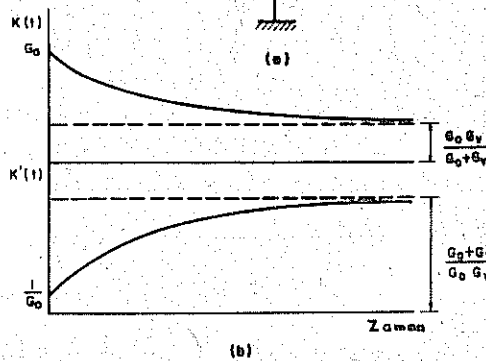
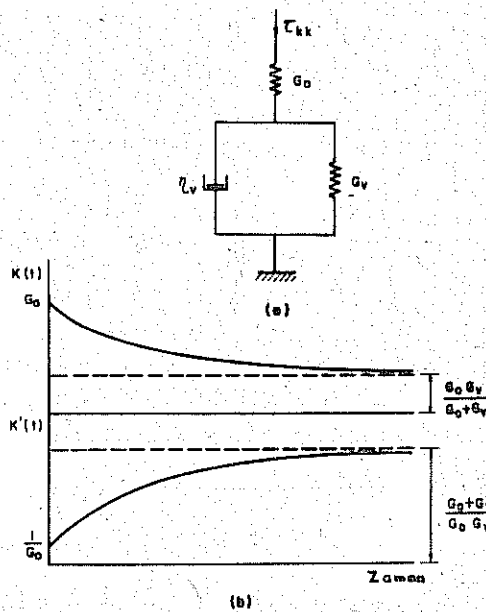
Sekil 12 - Eksenel simetrik yük için (τ_{rr}) 'nın üst yüzeyde (r)'ye göre değişimi.



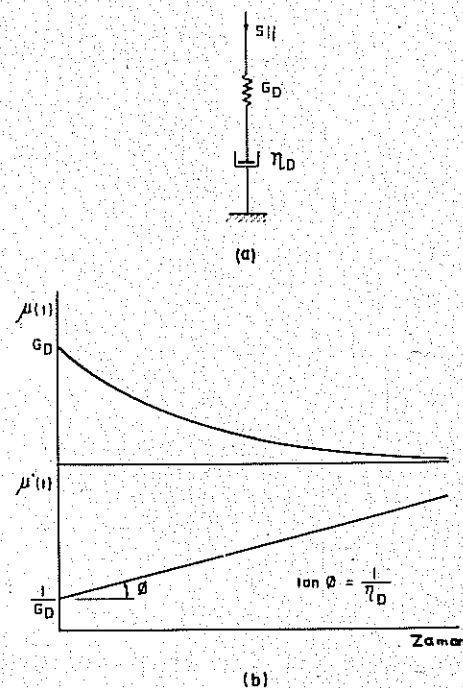
Sekil 13 - Eksenel simetrik yük için $(\tau_{\theta\theta})$ 'nın üst yüzeyde (r)'ye göre değişimi.



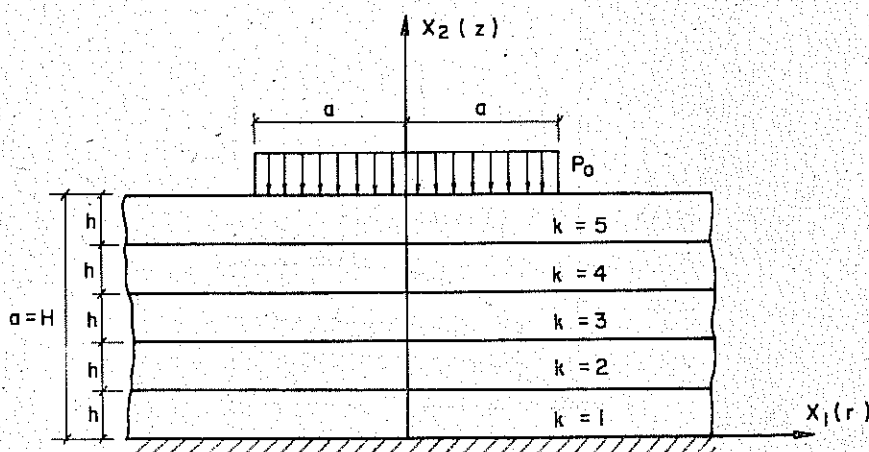
Şekil 14 - Eksenel simetrik yük için $(\tau_{\theta\theta})$ 'nın $r = 0$ 'da (z)'ye göre değişimi.



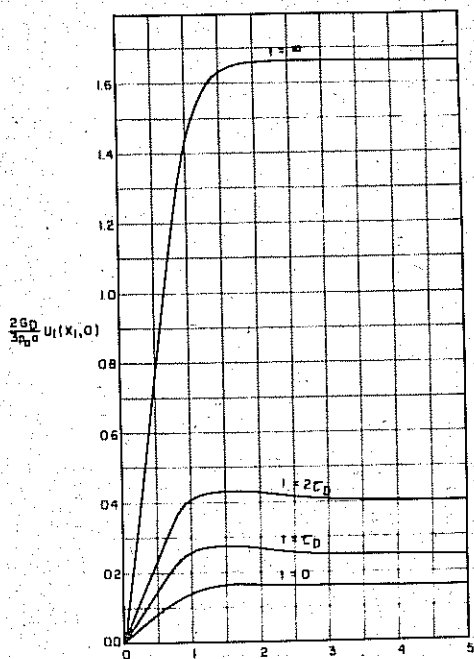
Şekil 15 - (a) Hacimsel ilneer standart model (b) "Bulk"- gevşeme ve "Bulk"-sünme fonksiyonları $K(t)$, $K'(t)$ 'nin zamana göre değişimi.



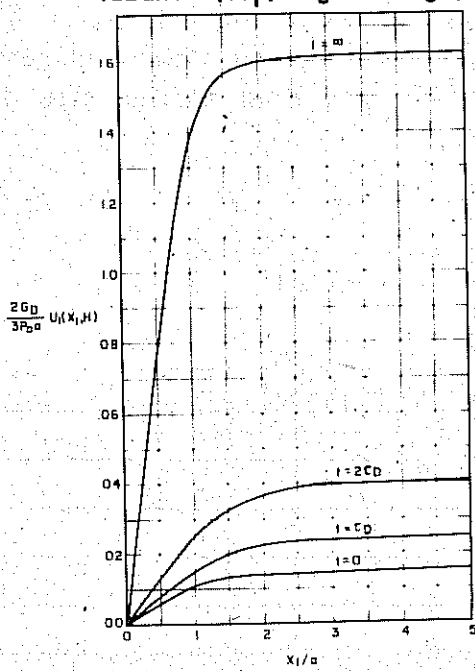
Sekil 16 - (a) Kayma Maxwell modelli
 (b) Kayma - sünme ve kayma - gevşeme fonksiyonları
 $\mu(t)$, $\mu'(t)$ 'nin zamana göre değişimi.



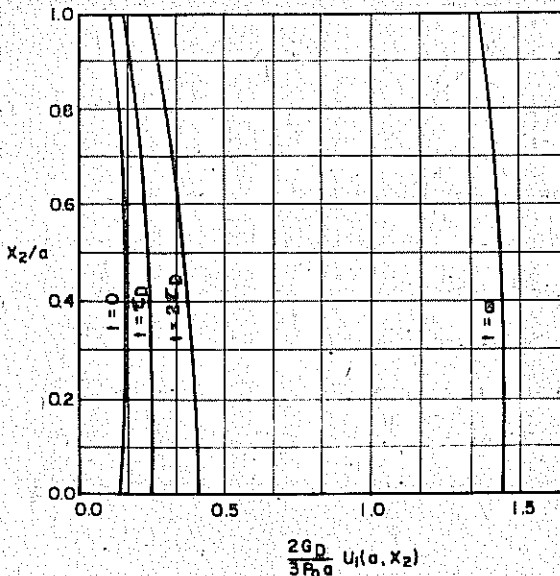
Sekil 17 - Örnek problemin konfigürasyonu



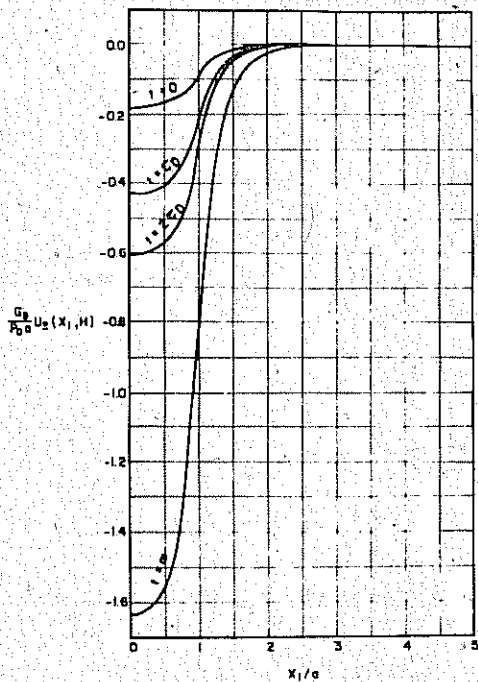
Şekil 18- Şerit yük için yatay yer değiştirmenin tabanda (X_1)'e göre değişimi.



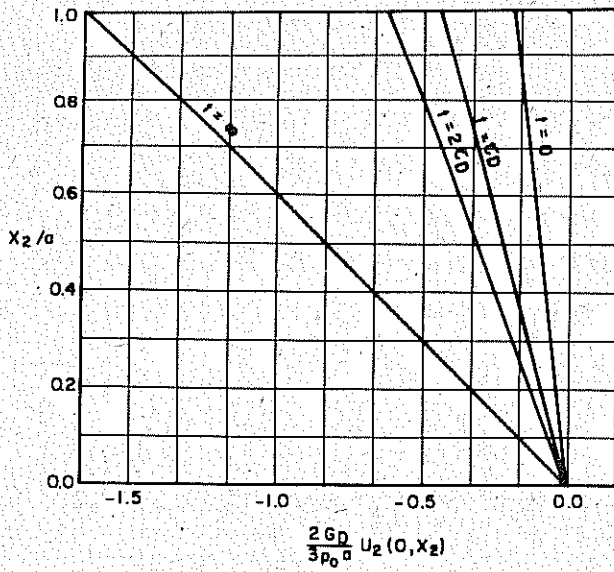
Şekil 19- Şerit yük için yatay yer değiştirmenin üst yüzeyde (X_1)'e göre değişimi.



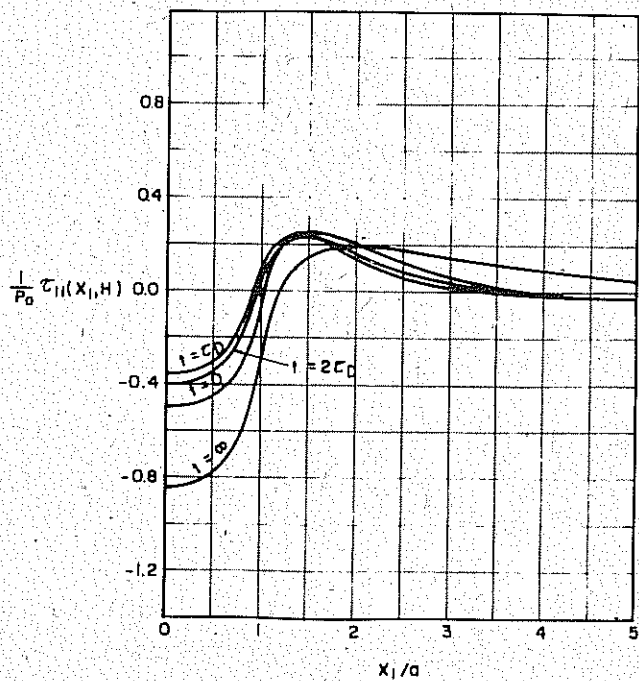
Şekil 20 - Serit yük için yatay yer değiştirmenin
 $X_1=a$ 'da (X_2)'e göre değişimi.



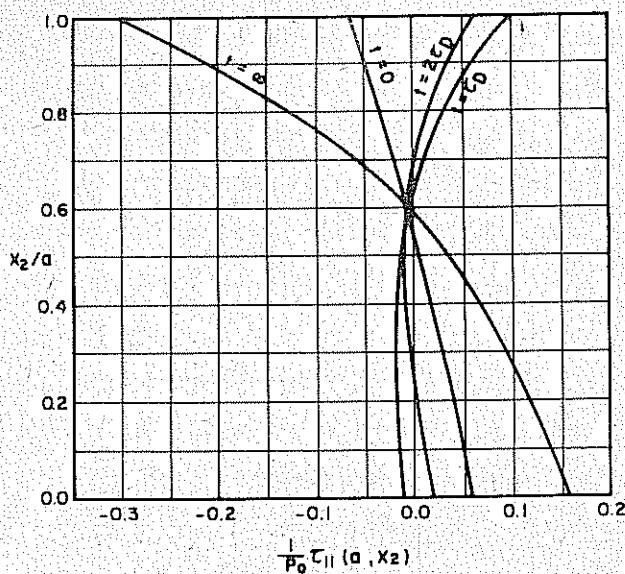
Şekil 21 - Serit yük için düşey yer değiştirmenin üst yüzeyde (X_1)'e göre değişimi.



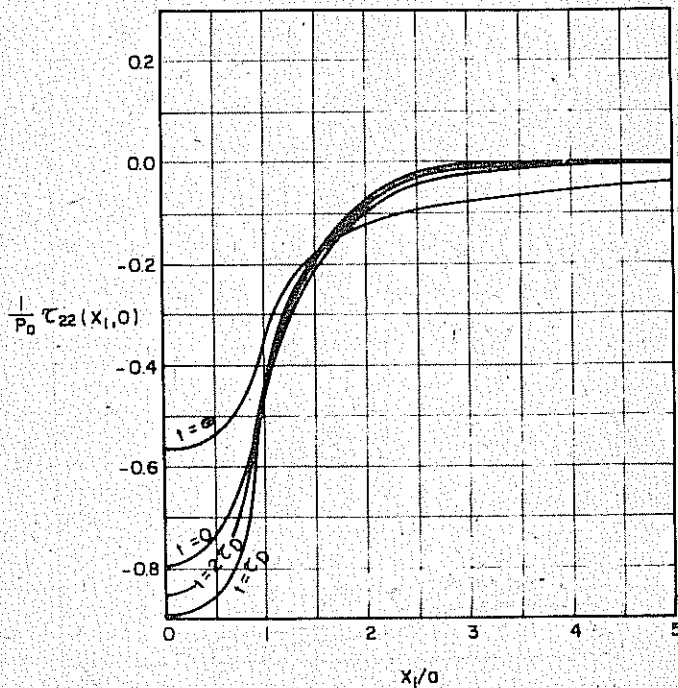
**Şekil 22 - Serit yük için düşey yer değiştirmenin
 $X_1 = 0$ 'da (X_2) 'e göre değişimi.**



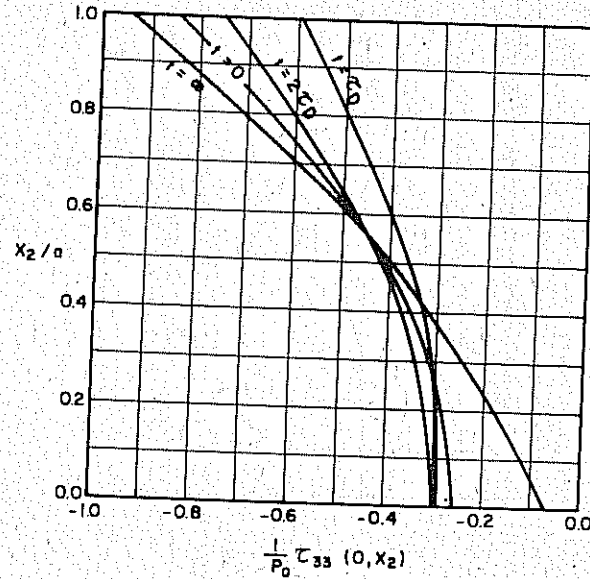
**Şekil 23 - Serit yük için (τ_{II}) 'nın yüzeyde (X_1) 'e
göre değişimi.**



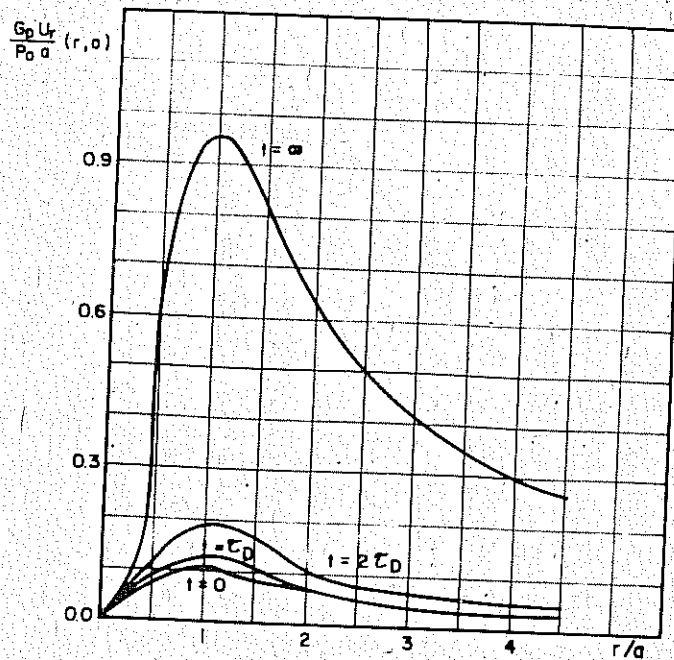
Sekil 24- Şerit yük için (τ_{11}) 'in $X_1 = a$ da (X_2) 'e göre değişimi.



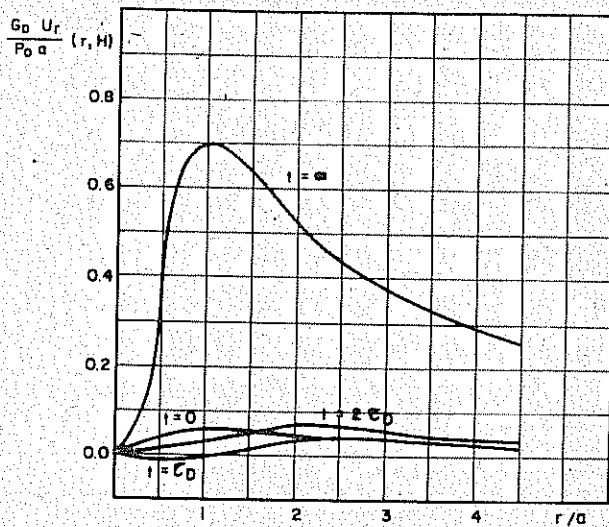
Sekil - 25 Şerit yük için (τ_{22}) 'nin tabanda (X_1) 'e göre değişimi.



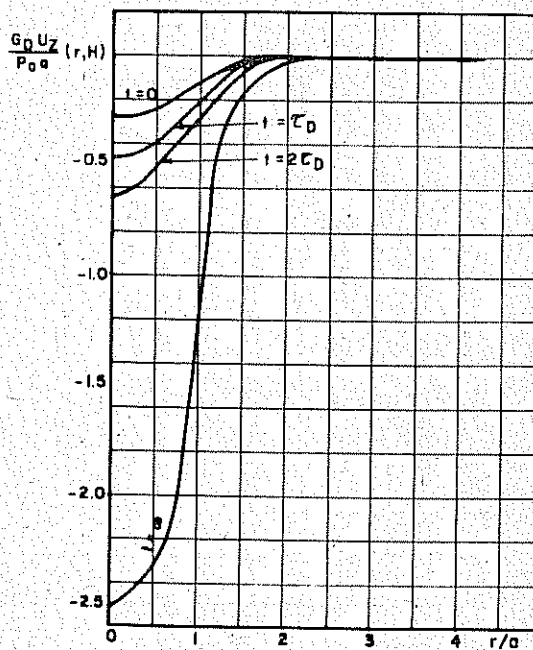
Sekil 26 - Serit yük için (τ_{33})'ın $X_1=0$ 'da (X_2)'e göre değişimi.



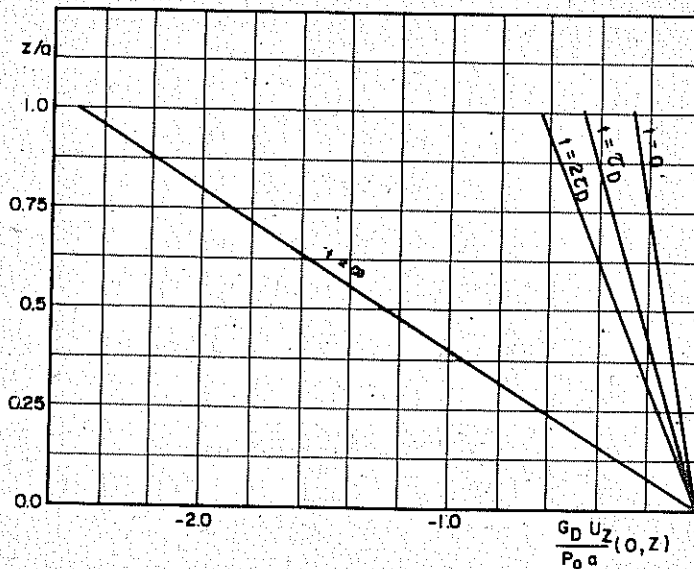
Sekil 27 - Eksenel simetrik yük için yatay yer değiştirmenin tabanda (r)'ye değişimi.



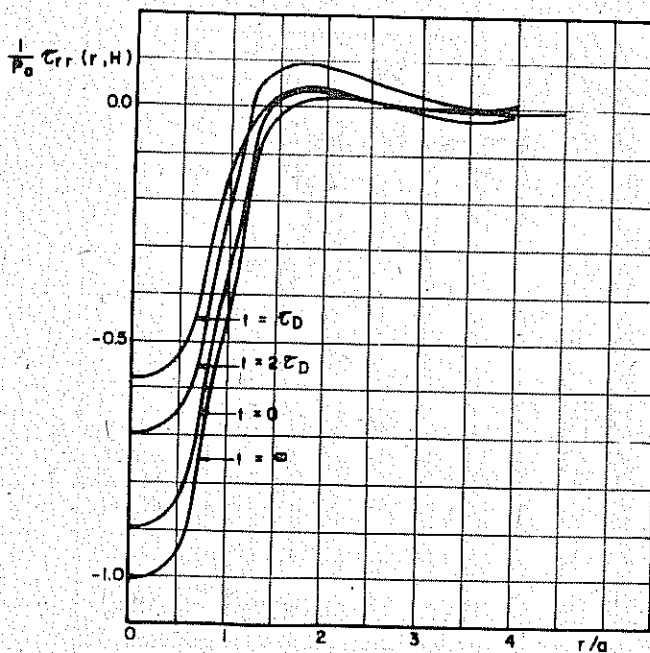
Sekil 28 - Eksenel simetrik yük için yatay yer değiştirmenin
Üst yüzeyde (r)'ye göre değişimi.



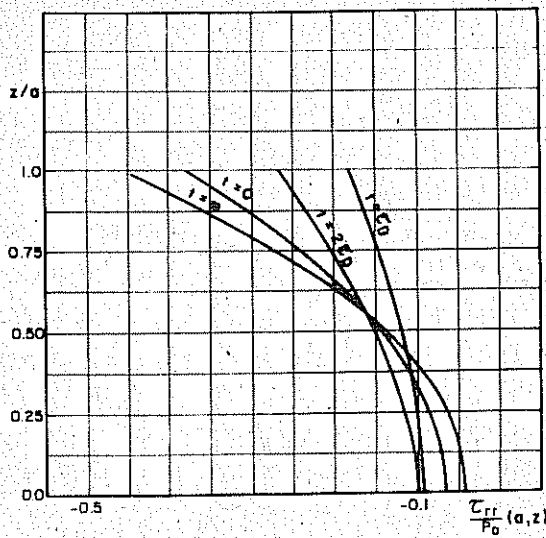
Sekil 29 - Eksenel simetrik yük için düşey yer
değiştirmenin üst yüzeyde (r)'ye göre değişimi



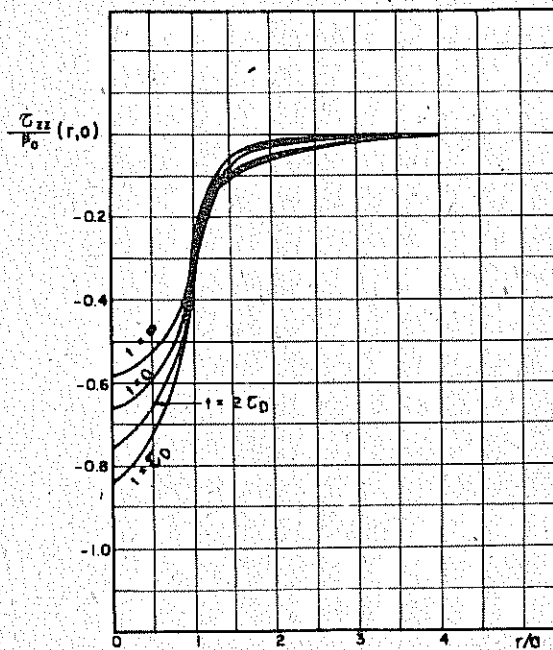
**Sekil 30 - Eksenel simetrik yük için düşey yer değiştirmenin
 $r = 0$ 'da (z) ye göre değişimi.**



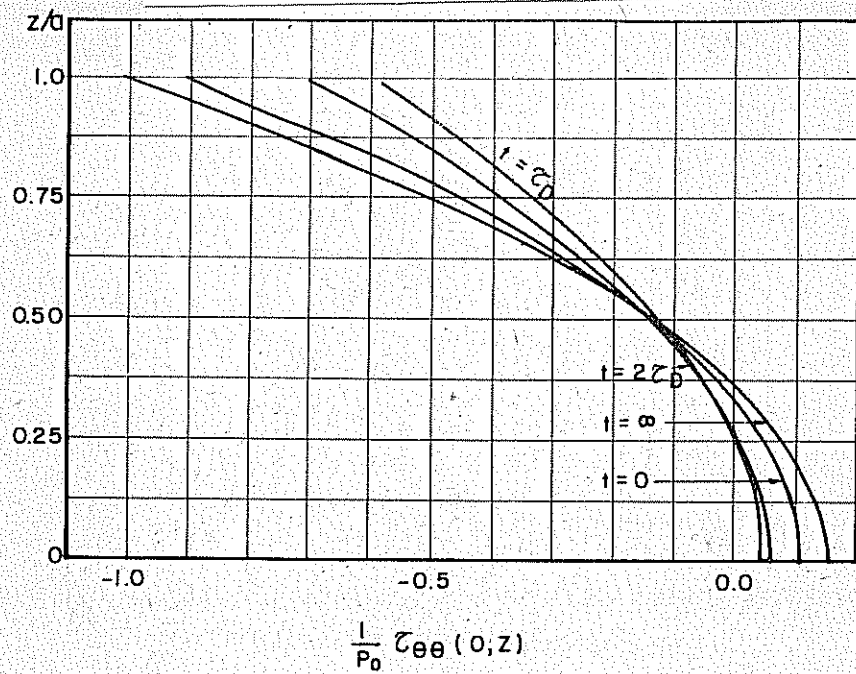
**Sekil 31- Eksenel simetrik yük için (τ_{rr}) 'nın üst yüzeyde (r)'ye
göre değişimi.**



Sekil 32 - Eksenel yük için (τ_{rr}) 'nın $r=a$ 'da (z)'ye göre değişimi.



Sekil 33 - Eksenel simetrik yük için (τ_{zz}) 'nın tabanda (r)'ye göre değişimi.



Sekil 34 - Eksenel simetrik yük için $(\tau_{\theta\theta})$ 'nın $r=0$ 'da (z) 'ye göre değişimi.

$$\frac{1}{P_0} \tau_{\theta\theta}(0,z)$$